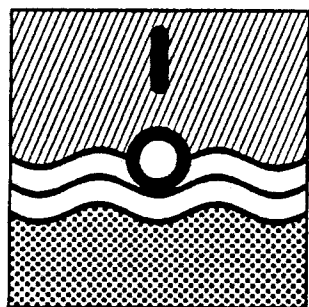


# ΥΔΡΟΣΚΟΠΙΟ

ΠΡΟΓΡΑΜΜΑ STRIDE ΕΛΛΑΣ

ΔΗΜΙΟΥΡΓΙΑ ΕΘΝΙΚΗΣ ΤΡΑΠΕΖΑΣ  
ΥΔΡΟΛΟΓΙΚΗΣ ΚΑΙ ΜΕΤΕΩΡΟΛΟΓΙΚΗΣ  
ΠΛΗΡΟΦΟΡΙΑΣ



## HYDROSCOPE

STRIDE HELLAS PROGRAMME

DEVELOPMENT OF A NATIONAL DATA  
BANK FOR HYDROLOGICAL AND  
METEOROLOGICAL INFORMATION

ΥΠΟΥΡΓΕΙΟ ΓΕΩΡΓΙΑΣ  
ΔΙΕΥΘΥΝΣΗ ΓΕΩΛΟΓΙΑΣ ΚΑΙ ΥΔΡΟΛΟΓΙΑΣ

MINISTRY OF AGRICULTURE  
DIVISION OF GEOLOGY AND HYDROLOGY

ΤΡΟΠΟΣ ΕΠΕΞΕΡΓΑΣΙΑΣ ΚΑΙ ΣΧΕΔΙΑΣΗΣ  
ΔΙΑΓΡΑΜΜΑΤΩΝ ΔΟΚΙΜΑΣΤΙΚΩΝ  
ΑΝΤΛΗΣΕΩΝ

ANALYSIS AND DIAGRAMS OF PUMPING  
TESTS

I. Ανδρεάδης και Z. Μορφόπουλος

I. Andreadis and Z. Mourtopoulos

Αριθμός τεύχους Report number 7/6

ΑΘΗΝΑ - ΙΟΥΝΙΟΣ 1993  
ATHENS - JUNE 1993

## ΠΕΡΙΕΧΟΜΕΝΑ

Σελίδα

1.	ΓΕΝΙΚΑ	1
2.	ΚΡΙΤΙΚΗ ΕΞΕΤΑΣΗ ΤΩΝ ΚΥΡΙΩΤΕΡΩΝ ΜΕΘΟΔΩΝ ΑΝΑΛΥΣΗΣ	3
3.	ΕΠΕΞΕΡΓΑΣΙΑ ΚΑΙ ΣΧΕΔΙΑΣΗ ΔΙΑΓΡΑΜΜΑΤΩΝ	7
4.	ΠΛΕΟΝΕΚΤΗΜΑΤΑ ΚΑΙ ΜΕΙΟΝΕΚΤΗΜΑΤΑ ΤΩΝ ΑΝΤΑΝΤΙΚΩΝ ΔΟΚΙΜΑΣΙΩΝ	19
5.	ΠΑΡΑΤΗΡΗΣΕΙΣ	20

ΠΑΡΑΡΤΗΜΑ 1

ΠΑΡΑΡΤΗΜΑ 2

ΠΑΡΑΡΤΗΜΑ 3

## 1 ΓΕΝΙΚΑ

Οι δοκιμαστικές αντλήσεις γίνονται κυρίως για δυο λόγους:

- α) για να μας δώσουν πληροφορίες για την δυναμικότητα, λειτουργία και απόδοση μιας συγκεκριμένης γεώτρησης, και
- β) για να μας δώσουν πληροφορίες για την συμπεριφορά και την δυναμικότητα του υδροφόρου ή του συστήματος των υδροφόρων που τροφοδοτούν μια γεώτρηση ή ένα πεδίο γεωτρήσεων.

Επομένως από την επεξεργασία των στοιχείων της δοκιμαστικής άντλησης προσδιορίζονται αφενός οι υδραυλικές παράμετροι του υδροφορέα στην τοπική περιοχή όπου γίνεται η δοκιμαστική άντληση και αφετέρου παράμετροι που έχουν σχέση με την γεώτρηση.

Στην πράξη όμως υφίσταται μια διαφορά μεταξύ της δυναμικότητας της γεώτρησης και της δυναμικότητας των υδροφόρων, η οποία θεωρητικά δεν θα έπρεπε να υπάρχει. Η διαφορά αυτή υφίσταται για δυο λόγους κυρίως: α) το βαθμό τελειότητας σχεδιασμού και κατασκευής της γεώτρησης και β) τα τεστ του υδροφόρου που είναι γενικά πιο περιπλοκα, απαιτούν δε την κατασκευή δορυφορικών πιεζομέτρων (τα οποία στην πράξη συνήθως δεν υφίστανται). Αρα μπορούμε συμπερασματικά να πούμε ότι από την αποκλειστική δοκιμαστική άντληση της γεώτρησης παίρνουμε μόνο προσεγγιστικές πληροφορίες για την δυναμικότητα, λειτουργία και απόδοση της συγκεκριμένης γεώτρησης.

Οι δοκιμαστικές αντλήσεις γίνονται μετά το πέρας κατασκευής της γεώτρησης και συγκεκριμένα μετά το τέλος της φάσης της αναπτύξεως. Καλό είναι να γίνονται στο τέλος της ξηράς περιόδου και αυτό γιατί τα αποτελέσματα και οι προβλέψεις που θα γίνουν την εποχή αυτή είναι πλέον συντηρητικά και έτσι αποφεύγονται σοβαρά λάθη και υπερεκτιμήσεις. Φυσικά οι υδραυλικές σταθερές του υδροφόρου **K** (διαπερατότητα-permeability), **T** (υδαταγωγιμότητα-transmissibility), **S** (συντελεστής εναποθήκευσης - storage coefficient), δεν αλλάζουν την εποχή εκείνη, αλλάζει όμως η θέση της υδροστατικής στάθμης, της στάθμης άντλησης, καθώς και ο ρυθμός εμπλουτισμού του υδροφόρου από άλλα υδατικά στρώματα.

Οι αρχές λειτουργίας μιας δοκιμαστικής άντλησης είναι μάλλον απλές. Από μια γεώτρηση αντλείται νερό για ορισμένο χρονικό διάστημα με ορισμένη παροχή. Η επιδραση της άντλησης αυτής στον υδροφόρο ορίζοντα εξετάζεται μέσω μετρήσεων

της στάθμης που λαμβάνονται είτε στην ίδια την γεώτρηση είτε σε δορυφορικά πιεζόμετρα. Η απόδοση της γεώτρησης υπολογίζεται από την ειδική παροχή της, ενώ οι υδραυλικές παράμετροι του υδροφόρου μπορούν να υπολογισθούν αφού οι μετρήσεις της στάθμης, της παροχής και της απόστασης του πιεζομέτρου, ύστερα από κατάλληλη επεξεργασία, εισαχθούν σε κατάλληλη εξίσωση.

## 2 ΚΡΙΤΙΚΗ ΕΞΕΤΑΣΗ ΤΩΝ ΚΥΡΙΩΤΕΡΩΝ ΜΕΘΟΔΩΝ ΑΝΑΛΥΣΗΣ

Μέχρι σήμερα έχουν προταθεί διάφορες μέθοδοι επεξεργασίας και ανάλυσης των δεδομένων δοκιμαστικών αντλήσεων. Οι μέθοδοι αυτές διαφέρουν μεταξύ τους ως προς τις παραδοχές που γίνονται παίρνουν δε το όνομά τους από τους ερευνητές που τις πρότειναν. Γενικά σε κάθε μέθοδο ανάλυσης δοκιμαστικών αντλήσεων διακρίνομε τη γραφική και την υπολογιστική επίλυση. Οι κυριότερες μέθοδοι ανάλυσης είναι:

- Η μέθοδος Dupuit - Thiem.
- Η μέθοδος των προτύπων καμπυλών ή μέθοδος Theis (1935).
- Η μέθοδος της ευθείας γραμμής ή μέθοδος Jacob (1946).
- Η μέθοδος Chow (1952).

### 2.1 Η μέθοδος Dupuit - Thiem

Η μέθοδος Dupuit-Thiem είναι και η αρχαιότερη και δεν έχει μεγάλη πρακτική εφαρμογή για τους παρακάτω λόγους:

- Απαιτεί κατάσταση ισορροπίας που συνήθως δύσκολα επιτυγχάνεται.
- Απαιτεί την ύπαρξη δύο τουλάχιστον δορυφορικών πιεζομέτρων.
- Δεν δίνει τιμές συντελεστού Υδροχωρητικότητας (S).

Η μέθοδος αυτή συνήθως χρησιμοποιείται συμπληρωματικά, όταν υπάρχουν οι προϋποθέσεις, σε συνδοιασμό με τις άλλες μεθόδους.

### 2.2 Μέθοδος Theis

Οι προϋποθέσεις εφαρμογής της μεθόδου αυτής είναι:

- Ο συντελεστής διαπερατότητας (K) και το πάχος του υδροφορέα (b) να μην αλλάζουν αισθητά στην έκταση εξάπλωσης του κώνου κατάπτωσης.
- Η ροή του νερού προς την αντλούμενη γεώτρηση να είναι ακτινωτή και οριζόντια.
- Η διάμετρος της γεωτρήσεως να είναι σχετικά μικρή, ώστε η αποθήκευση νερού μέσα σ' αυτή να μην λαμβάνεται πρακτικά υπόψη στην ανάλυση των αντλήσεων.
- Το υδροφόρο να είναι υπό πίεση.

- Να μην υπάρχουν φυσικά ή υδραυλικά όρια στην έκταση επιρροής του κώνου κατάπτωσης.
- Να μην παρατηρούνται απώλειες φορτίου (λόγω τυρβώδους ροής) στην γεώτρηση.

Μικρές ανοχές ως προς την εκπλήρωση των προϋποθέσεων αυτών δεκτές και δεν αλλάζουν αισθητά το αποτέλεσμα της ανάλυσης, εν αντιθέσει με μεγάλες αλλαγές που πρέπει να αντιμετωπίζονται με διαφορετικές μεθόδους επίλυσης ως ειδικές περιπτώσεις.

Στην μέθοδο αυτή οι μετρήσεις πτώσης στάθμης/χρόνου της αντλήσεως παριστανται γραφικά σε διπλό λογαριθμικό χαρτί και συγκρίνονται μ' ένα σετ προτύπων καμπυλών (ειδική πρότυπη καμπύλη για κάθε τύπο υδροφόρου), που πρέπει να έχουν προετοιμαστεί από πίνακες που υπάρχουν (πίνακες Wenzel) (Πίνακας 1)

Οι εξισώσεις που χρησιμοποιούνται για την επίλυση Theis είναι:

$$s = \frac{Q}{4 \pi T} W(u) \quad (1)$$

και

$$u = \frac{r^2 s}{4 T t} \quad (2)$$

όπου:

$s$  = η στάθμη αντλησης σε m.

$Q$  = η παροχή αντλησης σε  $m^3/sec.$

$t$  = ο χρόνος αντλησης σε sec.

$\pi$  = ο φυσικός αριθμός 3,14 κ.λ.π.

$W(u)$  = εκθετική συνάρτηση ( $u$ ) της γεώτρησης.

$r$  = απόσταση από το κέντρο της αντλούμενης γεώτρησης μέχρι το σημείο λήψεως των μετρήσεων σε m.

$T$  = συντελεστής υδαταγωγιμότητας ή μεταβιβαστικότητας σε  $m^2/sec.$

$S$  = συντελεστής υδροχωρητικότητας ή εναποθήκευσης.

**ΠΙΝΑΚΑΣ 1**

I. Τιμές του  $N(u)$  για τιμές του  $u$  μεταξύ  $1 \cdot 10^{-15}$  και  $9 \cdot 10^0$ .

$u$	1.0	2.0	3.0	4.0	5.0	6.0	7.0	8.0	9.0
$\times 10^0$	0.219	0.049	0.013	0.0038	0.0011	0.00036	0.00012	0.000034	0.000012
$\times 10^{-1}$	1.42	1.22	0.91	0.70	0.56	0.45	0.37	0.31	0.26
$\times 10^{-2}$	4.04	3.35	2.96	2.58	2.47	2.30	2.15	2.03	1.92
$\times 10^{-3}$	8.33	5.64	5.13	4.95	4.73	4.54	4.39	4.25	4.14
$\times 10^{-4}$	8.63	7.94	7.53	7.15	7.02	6.84	6.66	6.55	6.44
$\times 10^{-5}$	10.94	10.24	9.84	9.33	9.14	8.99	8.86	8.74	
$\times 10^{-6}$	13.24	12.55	12.14	11.55	11.53	11.45	11.39	11.38	11.34
$\times 10^{-7}$	15.54	14.85	14.44	14.13	13.93	13.75	13.60	13.46	13.34
$\times 10^{-8}$	17.84	17.13	16.74	16.46	16.23	16.05	15.90	15.78	15.65
$\times 10^{-9}$	20.13	19.45	19.05	18.76	18.54	18.35	18.20	18.07	17.95
$\times 10^{-10}$	22.43	21.75	21.35	21.06	20.84	20.66	20.50	20.37	20.25
$\times 10^{-11}$	24.73	24.06	23.65	23.34	23.14	22.94	22.81	22.67	22.55
$\times 10^{-12}$	27.03	26.36	25.96	25.67	25.44	25.25	25.11	24.97	24.86
$\times 10^{-13}$	29.38	28.66	28.26	27.97	27.73	27.54	27.41	27.28	27.16
$\times 10^{-14}$	31.68	30.97	30.56	30.27	30.03	29.87	29.71	29.58	29.46
$\times 10^{-15}$	33.98	33.27	32.86	32.58	32.35	32.17	32.02	31.88	31.75

II. Τιμές του  $N(u)$  για τιμές του  $u$  μεταξύ 0.1 και  $9 \cdot 10^{15}$

$u$	10	20	30	40	50	60	70	80	90	100	110	120	130	140	150	160	170	180	190	200
$10^{-1}$	0.219	0.013	0.007	0.006	0.0025	0.0013	0.0007	0.0006	0.0002	0.0001	0.0001	0.0001	0.0001	0.0001	0.0001	0.0001	0.0001	0.0001	0.0001	
1	1.42	1.59	1.36	1.22	1.04	91	79	61	56	45	37	31	28							
10	4.04	3.78	3.57	3.35	3.14	2.96	2.81	2.66	2.57	2.47	2.30	2.15	2.03	1.92						
100	8.33	6.07	5.80	5.64	5.42	5.23	5.08	4.95	4.82	4.72	4.54	4.39	4.25	4.14						
$10^1$	8.63	8.37	8.10	7.84	7.72	7.51	7.30	7.25	7.13	7.02	6.94	6.89	6.85	6.80						
$10^2$	10.94	10.62	10.41	10.24	10.02	9.84	9.66	9.55	9.43	9.33	9.14	8.99	8.86	8.74						
$10^3$	13.24	12.77	12.55	12.32	12.14	11.99	11.85	11.73	11.61	11.45	11.29	11.16	11.04							
$10^4$	15.54	15.29	15.01	14.81	14.62	14.44	14.29	14.15	14.04	13.91	13.75	13.60	13.46	13.34						
$10^5$	17.84	17.52	17.21	16.93	16.74	16.54	16.40	16.24	16.05	15.90	15.76	15.65								
$10^6$	20.13	19.86	19.62	19.45	19.21	19.05	18.89	18.75	18.64	18.54	18.35	18.20	18.07	17.95						
$10^7$	22.43	22.16	21.91	21.70	21.52	21.35	21.20	21.04	20.94	20.84	20.74	20.64	20.54	20.47	20.35					
$10^8$	24.73	24.49	24.22	24.02	23.81	23.65	23.50	23.36	23.25	23.14	22.96	22.81	22.67	22.55						
$10^9$	27.03	26.79	26.52	26.36	26.14	25.96	25.80	25.67	25.55	25.44	25.35	25.21	25.05	24.90	24.77	24.66				
$10^{10}$	29.38	29.16	28.91	28.66	28.44	28.26	28.10	27.97	27.85	27.73	27.61	27.41	27.28	27.16						
$10^{11}$	31.68	31.46	31.13	30.97	30.74	30.56	30.41	30.27	30.15	30.05	29.97	29.71	29.58	29.46						
$10^{12}$	33.98	33.70	33.41	33.27	33.05	32.86	32.71	32.58	32.46	32.35	32.17	32.02	31.88	31.75						

### 2.3 Η μέθοδος της ευθείας γραμμής ή μέθοδος Jacob

Οι Cooper - Jacob διαπίστωσαν ότι για τιμές του  $u \leq 0.01$ , δηλαδή όταν  $r^2/t$  είναι πολύ μικρό, όπου  $r$  σε  $m$  και  $t$  σε  $min$ , τότε η εξίσωση Theis παίρνει την μορφή:

$$s = 0.183 \frac{Q}{T} \log \frac{2.25 T t}{r^2 S} \quad (3)$$

και παίρνει σε ημιλογαριθμικό χαρτί την μορφή ευθείας γραμμής. Για να πάρει το  $u$  την παραπάνω μικρή τιμή πρέπει είτε ο χρόνος αντλήσεως  $t$  να είναι σχετικά μεγάλος, είτε η απόσταση  $r$  του πιεζομέτρου από την αντλούμενη γεώτρηση να είναι σχετικά μικρή. Επομένως η μέθοδος αυτή για να ισχύει πρέπει να προστεθεί η συνθήκη  $u \leq 0.01$  στις υπόλοιπες προϋποθέσεις Theis.

Συγκρίνοντας τις δύο παραπάνω μεθόδους βλέπουμε ότι:

- Η μέθοδος Jacob είναι πρακτικότερη γιατί παρισταται σε απλό ημιλογαριθμικό χαρτί, δεν απαιτεί την σύγκριση προτύπων καμπυλών, και δείχνει γενικά παραστατικότερα (επειδή είναι ευθεία γραμμή) κάθε μεταβολή στην συμπεριφορά του υδροφόρου και τέλος οι προβλέψεις που μπορούν να γίνουν μ' αυτή γίνονται πολύ απλά και εύκολα.
- Η μέθοδος Theis είναι μοναδική στις περιπτώσεις που δεν μπορεί να εφαρμοσθεί η μέθοδος Jacob ( μικρές τιμές χρόνου αντλησης  $t$  και μεγάλες τιμές απόστασης  $r$  πιεζομέτρου ).

### 2.4. Μέθοδος Chow

Η μέθοδος Chow έχει τα πλεονεκτήματα: i) της αποφυγής της σύμπτωσης καμπυλών που απαιτεί η μέθοδος Theis και ii) δεν περιορίζεται η χρήση της όπως η μέθοδος Jacob.

Κατασκευάζεται σε ημιλογαριθμικό χαρτί η ευθεία  $s=f(\log t)$  όπως και στη μέθοδο Jacob. Υστερα διαλέγεται τυχαίο σημείο και σημειώνονται οι συντεταγμένες του  $t$  και  $s$ . Στη συνέχεια υπολογίζεται από την ευθεία το Δς

δηλαδή η πτώση στάθμης ανά λογαριθμικό κύκλο του σημείου που υπολογίσθηκαν οι συντεταγμένες. Κατόπιν υπολογίζεται το  $F(u) = s/\Delta s$  και βρίσκονται οι τιμές του  $W(u)$  και  $u$  από το νομόγραμμα του Chow (σχ.2).

Για  $F(u) > 2$ ,  $W(u) = 2.30 F(u)$  και το  $u$  παίρνεται από τους πίνακες του Wenzel (πιν.1).

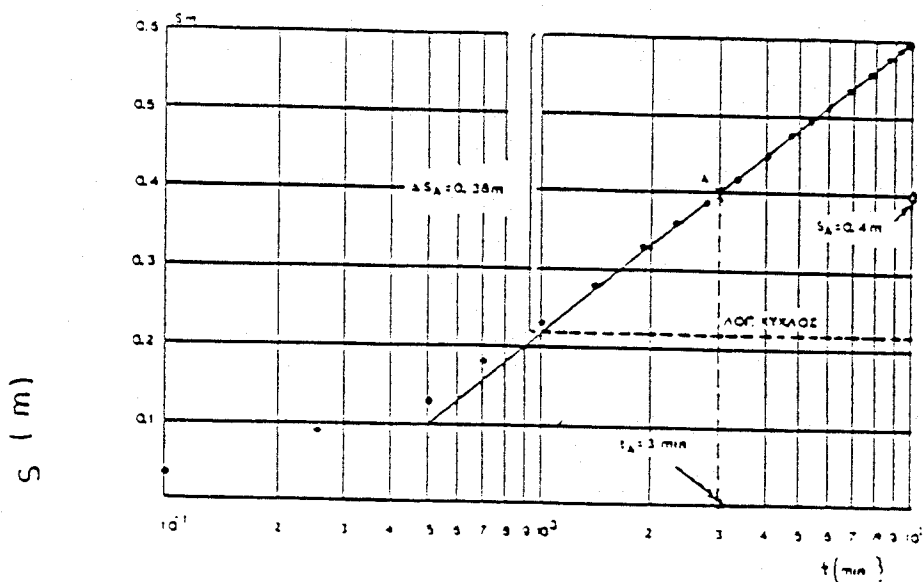
Τελικά υπολογίζονται οι τιμές  $T$  και  $S$  από τις εξισώσεις:

$$T = \frac{Q}{4 \pi S} \quad (4)$$

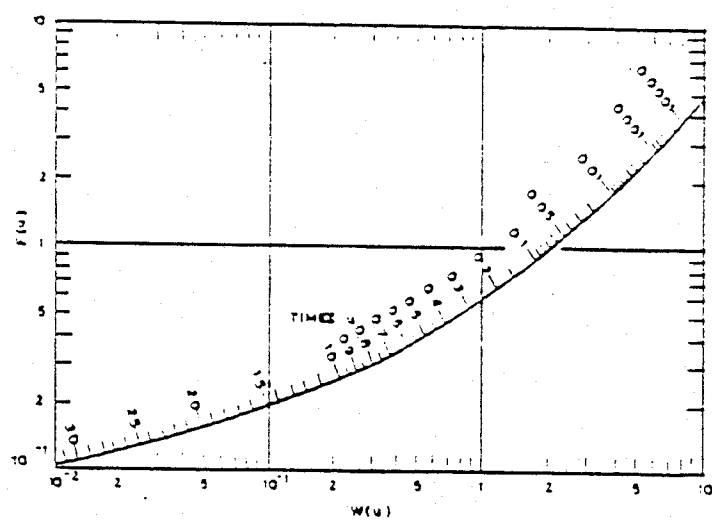
και

$$S = \left( \frac{4 T t}{r^2} \right) u \quad (5)$$

Από τις παραπάνω μεθόδους την μεγαλύτερη εφαρμογή έχουν οι μέθοδοι Jacob και Theis - χωρίς φυσικά να παραγνωρίζεται η αξία και των υπολοίπων μεθόδων - και γι' αυτό πρέπει να σταθούμε περισσότερο στις δυο αυτές μεθόδους και συγκεκριμένα στον τρόπο επεξεργασίας και σχεδίασης των διαγραμμάτων των δοκιμαστικών αντλήσεων των μεθόδων αυτών.



**ΣΧ. 1** Ανάλυση στορχέων αυτόντοτης διεύθυνσης κατά Chow.  
(Kruselman - de Ridder, 1979).



**ΣΧ. 2** Ημιόγραμμα κατά Chow για τον υπολογισμό των σχέσεων  $S(u)$   $w(u)$  και  $u$ . (Chow 1952).

### 3. ΕΠΕΞΕΡΓΑΣΙΑ ΔΕΔΟΜΕΝΩΝ ΚΑΙ ΣΧΕΔΙΑΣΗ ΔΙΑΓΡΑΜΜΑΤΩΝ

Για να γίνει δυνατή η επεξεργασία δεδομένων και σχεδίαση των διαγραμμάτων των δοκιμαστικών αντλήσεων απαιτείται να λαμβάνονται κατά τη διάρκεια της αντλήσεως σε ρυθμικά χρονικά διαστήματα μετρήσεις πτώσεις στάθμης (ή ανόδου στάθμης) όπως φαίνεται στον παρακάτω πίνακα και να ελέγχεται η παροχή σε τακτά χρονικά διαστήματα.

#### ΠΙΝΑΚΑΣ 3.1

Ρυθμός μετρήσεων στάθμης

Μετρώντες από την έναρξη της πτώσης στάθμης ή από την έναρξη της ανόδου.	Μετρήσεις των πτώσεων στάθμης ή ανόδου
0 - 10 min	0.5 - 1 min
10 - 20 min	2 min
20 - 60 min	5 min
60 - 120 min	10 min
120 - 180 min	15 min
180 - 780 min	30 min
780 - 1440 min	60 min
1440 - min	60 min

Συνήθως στον παραπάνω πίνακα 2 μετά τα 360 min οι μετρήσεις λαμβάνονται ανά 60 min.

Οι προαναφερθείσες μετρήσεις καταγράφονται σε ειδικό έντυπο ο συνήθης τύπος του οποίου φαίνεται στο παράρτημα 3. Αφού συμπληρωθούν και οι υπόλοιπες στήλες του εντύπου αρχίζει πλέον η επεξεργασία των δεδομένων των δοκιμαστικών αντλήσεων η οποία συνοδεύεται ταυτόχρονα και με την σύνθεση των δεδομένων υπό μορφή διαγραμμάτων και τον μαθηματικό προσδιορισμό των υδραυλικών παραμέτρων του υδροφόρου ή των παραμέτρων που έχουν σχέση με την γεώτρηση, στο τέλος δε πρέπει να ακολουθεί σχόλιο με παρατηρήσεις επί των αποτελεσμάτων. (Βλέπε παραδείγματα επεξεργασίας και σχεδίασης δοκιμαστικών αντλήσεων στα παραρτήματα 1 και 2).

### 3.1. Διαγράμματα

Όταν επιλεγεί ως μέθοδος ανάλυσης η μέθοδος της ευθείας γραμμής ή μέθοδος Jacob τότε ο τρόπος επεξεργασίας των δεδομένων και σχεδίασης των διαγραμμάτων της δοκιμαστικής άντλησης είναι ο παρακάτω

**3.1.1 Χαρακτηριστική καμπύλη γεωτρήσεως.** Για να χαράξουμε τη χαρακτηριστική καμπύλη χρησιμοποιούμε αριθμητικό διάγραμμα (χαρτί μιλιμετρέ) και τα ζεύγη παροχών  $Q$  - πτώσης στάθμης  $\Delta z$  στο τέλος των 2 ωρών, τόσο της άντλησης κατά βαθμίδες όσο και της άντλησης με σταθερή παροχή. Τα στοιχεία αυτά τοποθετούνται σε Πίνακα της μορφής.

### ΠΙΝΑΚΑΣ 3.2

Παροχή σε συνάρτηση της στάθμης κατά βαθμίδα

	A βαθμίδα	B βαθμίδα	Γ βαθμίδα	Σταθερή
Παροχή ( $Q$ ) σε $m^3/h$				
Στάθμη Αντλησης (Σ.Α) σε m				
Υδροστατική Στάθμη (Υ.Σ) σε m				
Πτώση Στάθμης ( $\Delta z$ ) σε m.				

Τον οριζόντιο άξονα των  $x$  υποδιαιρούμε σε  $m^3/h$  και τον ονομάζουμε άξονα παροχών  $Q$ . Τον κατακόρυφο άξονα των  $y$  ονομάζουμε άξονα πτώσεων στάθμης και τον υποδιαιρούμε σε m.

Από την χαρακτηριστική καμπύλη της γεωτρησης βλέπομε ότι με αύξηση της παροχής αυξάνεται ανάλογα και η πτώση στάθμης μέχρι ορισμένη παροχή που καλείται κρίσιμη παροχή. Από την παροχή αυτή και μετά δεν έχουμε απλή αριθμητική αναλογία παροχής και πτώσης στάθμης, γιατί η πτώση στάθμης γίνεται πολύ μεγαλύτερη για μικρή αύξηση της παροχής. Το σημείο της κρίσιμης παροχής οφείλεται σε διάφορους παράγοντες.

Η χαρακτηριστική καμπύλη της γεωτρησης είναι η γραφική εφαρμογή του τύπου του DUPUIT:

$$Q = \frac{1.366K}{\log R/r} \quad (6)$$

όπου  $Q$  = παροχή σε  $m^3/h$ .

$K$  = συντ. διαπερατότητας Darcy σε  $m/sec$ .

$H$  = πάχος υδροφόρου ορίζοντα σε  $m$ .

$h$  = ύψος του ύδατος εντός της γεωτρήσεως σε  $m$ .

$R$  = ακτίνα επίδρασης σε  $m$ .

$r$  = ακτίνα του φρέατος σε  $m$ .

Η εξίσωση (6) αντικαθιστώντας  $H - h = \Delta$  παίρνει την μορφή

$$Q = \frac{1.366K}{\log R/r} \quad (7)$$

Δεδομένου ότι οι παράγοντες  $K$ ,  $R$ ,  $r$ , είναι σταθεροί σύμφωνα με την υπόθεση του Dupuit, το πηλίκο

$$\frac{1.366K}{\log R/r}$$

είναι σταθερό οπότε έχουμε:

$$Q = C (2H - \Delta) \Delta \quad (8)$$

Δηλαδή η παροχή  $Q$  και η πτώση στάθμης  $\Delta$ ς συνδέονται με μια παραβολική συνάρτηση 2ου βαθμού της γενικής μορφής

$$y = ax^2 - abx \quad (9)$$

όπου οι μεταβλητές  $x$  και  $y$  παριστάνουν αντίστοιχα την πτώση στάθμης  $\Delta s$  και την παροχή  $Q$ .

**3.1.2. Διαγράμματα πτώσης στάθμης  $\Delta s$  - Χρόνου  $t$ .** Τα διαγράμματα αυτά με τη μέθοδο της ευθείας γραμμής (Jacob) είναι ημιλογαριθμικά. Η αριθμητική κλίμακα είναι η κατακόρυφη (άξονας των τεταγμένων) και η λογαριθμική κλίμακα είναι η οριζόντια (άξονας των τετμημένων). Στον άξονα των τεταγμένων θέτουμε την πτώση στάθμης  $\Delta s$  σε  $m$  και στον άξονα των τετμημένων θέτουμε τον χρόνο  $t$  από την έναρξη της αντλήσεως σε  $min$  ή  $sec$ .

Η ευθεία πτώσεως στάθμης ( $P$ ) κατασκευάζεται σημείο πρός σημείο τοποθετώντας για κάθε χρόνο την αντίστοιχη πτώση στάθμης. Από την ευθεία αυτή μπορούμε να βρούμε την τιμή του  $t_0$  σε  $min$  ή  $sec$ , όπου  $t_0$  είναι ο χρόνος όπου η πτώση στάθμης  $\Delta s=0$ , δηλ. η υδροστατική στάθμη, ως επίσης και την τιμή του  $C$  σε  $m$ , όπου  $C$  είναι η τιμή της πτώσης στάθμης για ένα λογαριθμικό κύκλο.

Στη συνέχεια υπολογίζεται η υδαταγωγιμότητα  $T$  βάσει του τύπου:

$$T = 0.183 Q / C \text{ σε } m^2/sec \quad (10)$$

και ο συντ. εναποθήκευσης  $S$  (%) βάσει του τύπου:

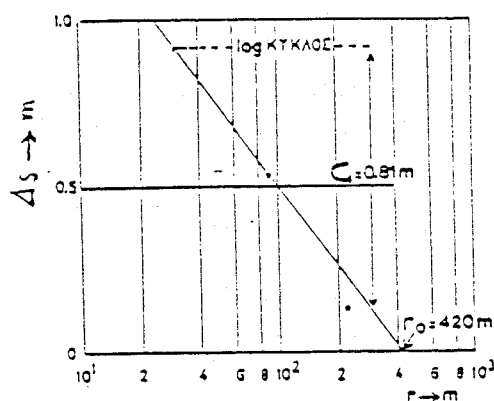
$$S = 2.25 T t_0 / r^2 \quad (11)$$

όπου  $r$  η απόσταση του πιεζομέτρου σε  $m$  από την αντλουμένη γεώτρηση στην περίπτωση που υπάρχει.

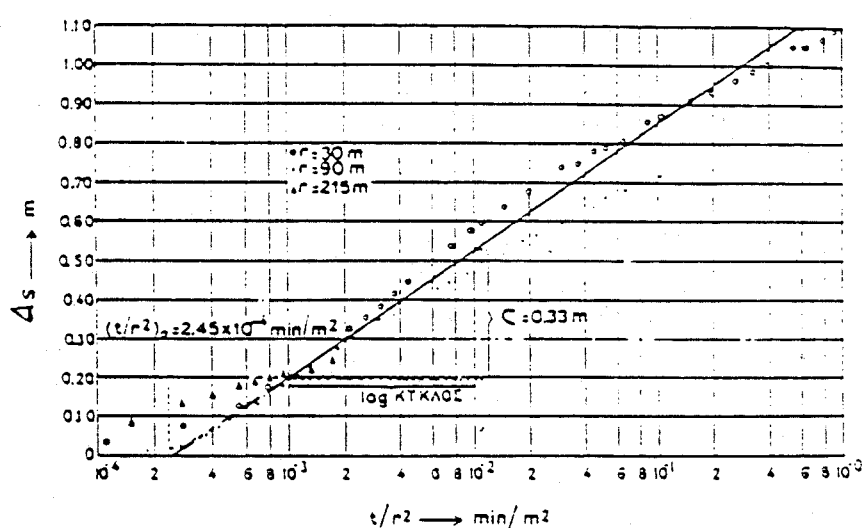
Ακολούθως υπολογίζεται και ο συντελεστής διαπερατότητας  $K$  βάσει του τύπου:

$$K = T / b \text{ σε } m/sec \quad (12)$$

εφόσον είναι γνωστό το πάχος  $b$  του υδροφόρου στρώματος σε  $m$ .



**Σχήμα 3** Κέντρος "απόσταση-εύρηση στάθμου" για τον υπολογισμό των Τ και S (Kruseman-deRidder, 1979). (Παραλλαγή A)



**Σχήμα 4** Δυάργοιαμα  $s = \bar{e}(\log t/r^2)$  για τον υπολογισμό των Τ και S. (Kruseman-deRidder, 1979). (Παραλλαγή B)

Αναφέσια πλεζόμενος	Διάγραμμα	Υπολογισμός Τ και S		Περιπτώσεις
		T	S	
1	$s = \bar{e}(\log T)$	$T = 2,30/4\pi C$	$S = 2,3ST^{1/2}/r^2$	$t_0 =$ τοπική ευθείας με άξονα $s=0$
$\geq 3$	$s = \bar{e}(\log r)$	$T = 2,30/2\pi C$	$S = 2,3ST^{1/2}/r^3$	$t_0 =$ " " " "
$\geq 2$	$s = \bar{e}(\log T/r^2)$	$T = 2,30/4\pi C$	$S = 2,3ST(r^{1/2})$ , $(r/r^2)^{1/2}$ " " " "	

Στο σημείο αυτό κρίνομε σκόπιμο να αναφέρουμε δύο παραλλαγές εφαρμογής της μεθόδου JACOB για τον υπολογισμό των υδραυλικών παραμέτρων του υδροφόρου, οι οποίες παραλλαγές εφαρμόζονται στην περίπτωση που υπάρχουν 2, 3 ή και περισσότερα πιεζόμετρα.

Παραλλαγή Α: Εφαρμόζεται κυρίως στην περίπτωση που τα διαθέσιμα πιεζόμετρα είναι περισσότερα από 3. Στη συνέχεια στο ίδιο ημιλογαριθμικό χαρτί προβάλλομε τα σημεία  $\Delta s = f(\log r)$ . Στην αριθμητική κλίμακα που είναι η κάθετη τοποθετούμε τις τιμές της πτώσης στάθμης  $\Delta s$  κατά την ίδια χρονική στιγμή τ για τα διαθέσιμα πιεζόμετρα και στην οριζόντια λογαριθμική κλίμακα θέτουμε τις αντίστοιχες τιμές της απόστασης  $r$  των διαθεσίμων πιεζομέτρων, οπότε το διάγραμμα  $\Delta s = f(\log r)$  δίνει ευθεία.

Οι υδραυλικές σταθερές του υδροφόρου υπολογίζονται από τους τύπους:

$$T = 2.3 Q / 2\pi C \quad (13)$$

και

$$S = 2.25 T t / r_0^2 \quad (14)$$

όπου:  $C$  = η πτώση στάθμης σ' ένα λογαριθμικό κύκλο και  $r_0$  = η τομή της ευθείας με τον άξονα  $\Delta s = 0$ .

Παραλλαγή Β: Εφαρμόζεται στην περίπτωση που τα διαθέσιμα πιεζόμετρα είναι περισσότερα από 2 και παρουσιάζει το πλεονέκτημα ότι οι μετρήσεις στάθμης γίνονται σε διαφορετικούς χρόνους σε δύο ή περισσότερα πιεζόμετρα. Στη συνέχεια στο ίδιο ημιλογαριθμικό χαρτί προβάλλονται για καθένα πιεζόμετρο τα σημεία  $\Delta s = f(\log t / r^2)$ . Στην αριθμητική κλίμακα που είναι η κάθετη θέτουμε τις τιμές της πτώσης στάθμης  $\Delta s$  και στην οριζόντια λογαριθμική κλίμακα τοποθετούμε τις τιμές  $t/r^2$  για κάθε πιεζόμετρο. Το διάγραμμα  $\Delta s = f(\log t / r^2)$  δίνει ευθεία που τέμνει τον άξονα μηδενικής πτώσης στάθμης στο σημείο  $\Delta s = 0$  και  $(t/r^2)_0$ .

Στην συνέχεια υπολογίζονται οι υδραυλικές σταθερές του υδροφόρου από τις εξισώσεις:

$$T = 2.3 Q / 4\pi C \quad (15)$$

και

$$S = 2.25 T (t/r^2)_0 \quad (16)$$

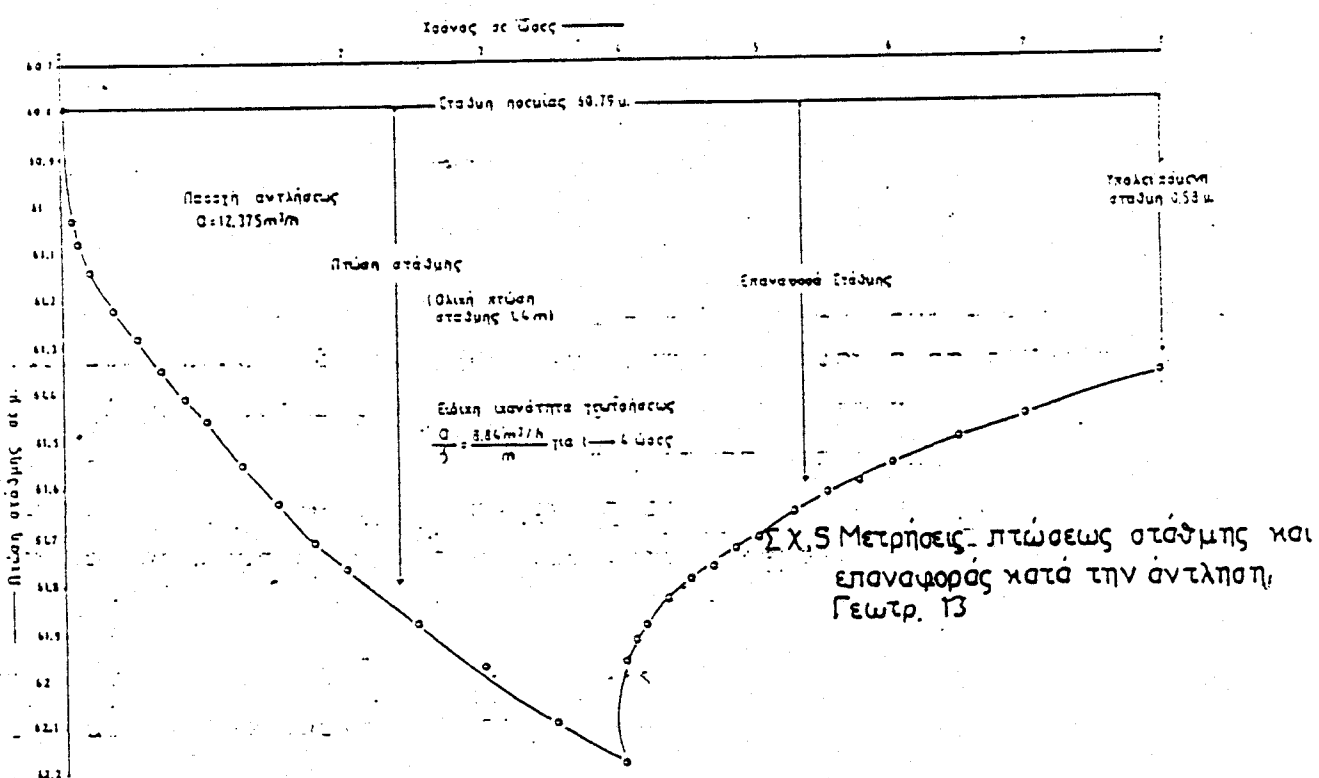
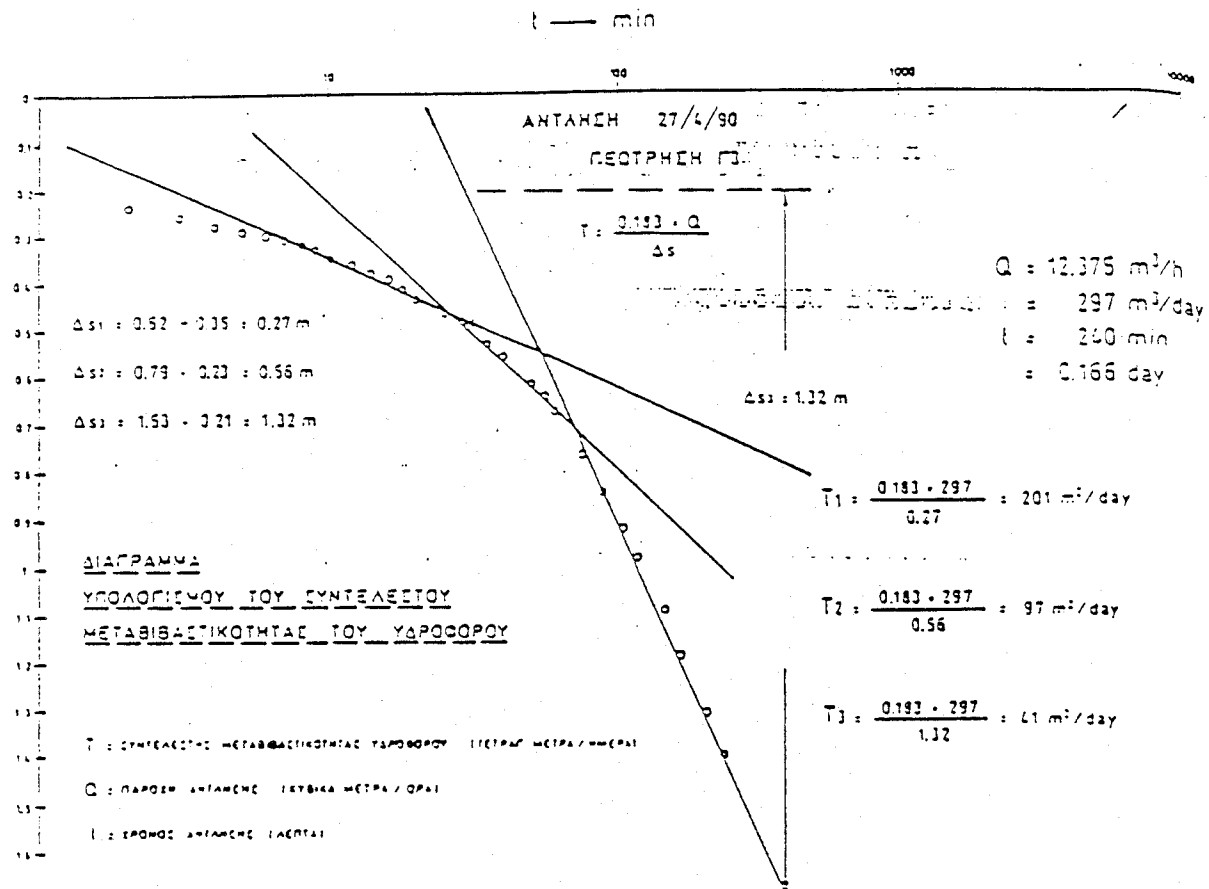
όπου:  $C=\eta$  πτώση στάθμης σ' ένα λογαριθμικό κύκλο και  $(t/r^2)_0 =$  η τομή της ευθείας με τον άξονα  $\Delta\zeta=0$ .

**3.1.3 Διαγράμματα επαναφοράς στάθμης.** Κατά τη μέθοδο της επανόδου της στάθμης χρησιμοποιούμε και πάλι ημιλογαριθμικό χαρτί. Θέτουμε στη δεκαδική κλίμακα την επάνοδο της στάθμης  $\Delta\zeta$  σε  $t$  και στη λογαριθμική κλίμακα το πηλίκο  $t+t'/t'$  όπου  $t$  είναι ο χρόνος που διέρρευσε από την έναρξη της αντλήσεως και  $t'$  ο χρόνος που διέρρευσε από το πέρας (τέλος) αυτής. Η ευθεία επαναφοράς στάθμης ( $E$ ) κατασκευάζεται σημείο προς σημείο και μετά για να βρούμε τα υδραυλικά χαρακτηριστικά επαναλαμβάνουμε τις εργασίες που προαναφέραμε κατά την πτώση της στάθμης.

**3.1.4 Διάγραμμα πτώσης στάθμης & επαναφοράς ( $\Delta\zeta$ ) - Χρόνου ( $t$ ).** Πρόκειται για αριθμητικό διάγραμμα, όπου στον οριζόντιο άξονα των  $x$  θέτουμε τον χρόνο  $t$  σε min, ή sec, ή h, από την έναρξη της αντλησης μέχρι και το πέρας της επαναφοράς της στάθμης και στον κατακόρυφο άξονα των  $y$  θέτουμε την πτώση στάθμης  $\Delta\zeta$  σε  $t$  καθόλη την διάρκεια της αντλησης και της επαναφοράς στάθμης (Σχήμα 5).

Από το διάγραμμα αυτό μπορούμε να έχομε την υπολειπόμενη στάθμη, εάν υπάρχει (συνήθως παρατηρείται υπολειπόμενη στάθμη στα περιορισμένα υδροφόρα), και την ειδική ικανότητα της γεωτρήσεως  $Q/\Delta\zeta$  για ωρισμένη χρονική στιγμή  $t$  και παροχή  $Q$ .

**3.1.5 Διάγραμμα υπολογισμού απώλειών φορτίου εντός της γεώτρησης.** Για να υπολογίσουμε τις απώλειες φορτίου σε μια γεώτρηση, όπου κατά την δοκιμαστική αντληση έχουν γίνει 3 διωρες βαθμίδες αντλησης με τις αντίστοιχες



μετρήσεις επανόδου της στάθμης, και μια άντληση σταθεράς παροχής με την αντίστοιχη επάνοδό της, κατ' αρχάς ωρισμένα δεδομένα της δοκιμαστικής άντλησης πινακοποιούνται όπως στον Πίνακα 2.

### ΠΙΝΑΚΑΣ 3.3

Στοιχεία αντλήσεως γεώτρησης № —

Βαθμίδες	Διάρκεια σε ώρες	Παροχή Q		Δς m	Ειδική πτώση Δς/Q σε m/m <sup>3</sup> /sec	Απώλειες φορτίου	
		m <sup>3</sup> /h	m <sup>3</sup> /sec			Υδροφόρου Δ <sub>1</sub> =B Q σε m	Γεωτρήσεως Δ <sub>2</sub> +Δ <sub>3</sub> =C Q <sup>2</sup> σε m
1 <sub>η</sub>	2						
2 <sub>η</sub>	2						
3 <sub>η</sub>	2						
Σταθερά	2						

Στον παραπάνω Πίνακα:

$\Delta_1$  = οι απώλειες φορτίου που οφείλονται στο υδροφόρο, δηλ. στη κυκλοφορία του νερού μέσα στο υδροφόρο σε m.

B = σταθερά που εξαρτάται από τα χαρακτηριστικά του υδροφόρου σε m/m<sup>3</sup>/sec.

Q = η εκμεταλλεύσιμη παροχή σε m<sup>3</sup>/sec.

$\Delta_2$  = οι απώλειες φορτίου που οφείλονται στην τεχνική της κατασκευής της γεώτρησης σε m.

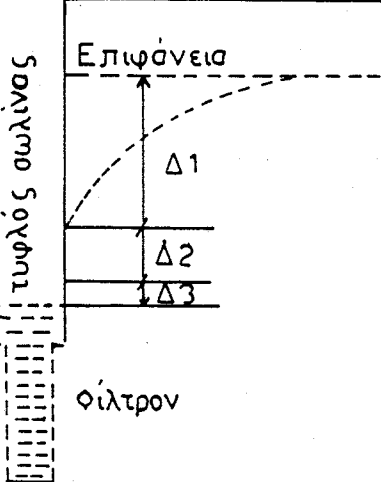
$\Delta_3$  = οι απώλειες φορτίου που οφείλονται στους φίλτροσωλήνες και στη διάμετρο σωλήνωσης της γεώτρησης σε m.

C = σταθερά που εξαρτάται από τη διάμετρο και τη φύση της σωληνώσεως και των φίλτρων σε sec<sup>2</sup>/m<sup>5</sup>.

Στη συνέχεια σε γραμμικό διάγραμμα σχεδιάζουμε την ευθεία απώλειών φορτίου  $\Delta = \Delta_1 + \Delta_2 + \Delta_3$ , με άξονα των x (τετμημένη) την παροχή Q σε m<sup>3</sup>/sec και στον άξονα των y (τεταγμένη) την ειδική πτώση στάθμης Δs/Q σε m/m<sup>3</sup>/sec.

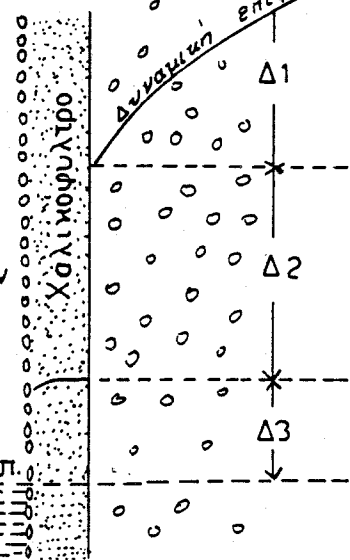
Επιφάνεια εδάφους

Πιεζομετρική  
συνολική πτώσις στόχυμης  $\Delta$   
Δυναμική επιφάνεια



Εσωτερικόν σωλήνων γεωτρήσεων

Δυναμική επ.



α

β

Σχ 6. Πτώσης στάθμης ένεκα τών άπωλειών φορτίου εις τάς γεωτρήσεις

Από την ευθεία αυτή ευρίσκομε τις τιμές των σταθερών  $B$  και  $C$ . Το μεν  $B$  είναι η τιμή της ευθείας απωλειών με τον άξονα των  $y$ , το δε  $C$  είναι η κλίση της ευθείας αυτής δηλ. η τιμή της εφαπτομένης της γωνίας  $C$ . Αντικαθιστώντας τις τιμές των  $B$  και  $C$  στους αντιστοιχους τύπους:

$$\Delta_1 = B Q \quad (17)$$

και

$$\Delta_2 + \Delta_3 = C Q^2 \quad (18)$$

ευρίσκομε τις απώλειες φορτίου σε  $m$  του υδροφόρου και της γεωτρήσεως για κάθε παροχή.

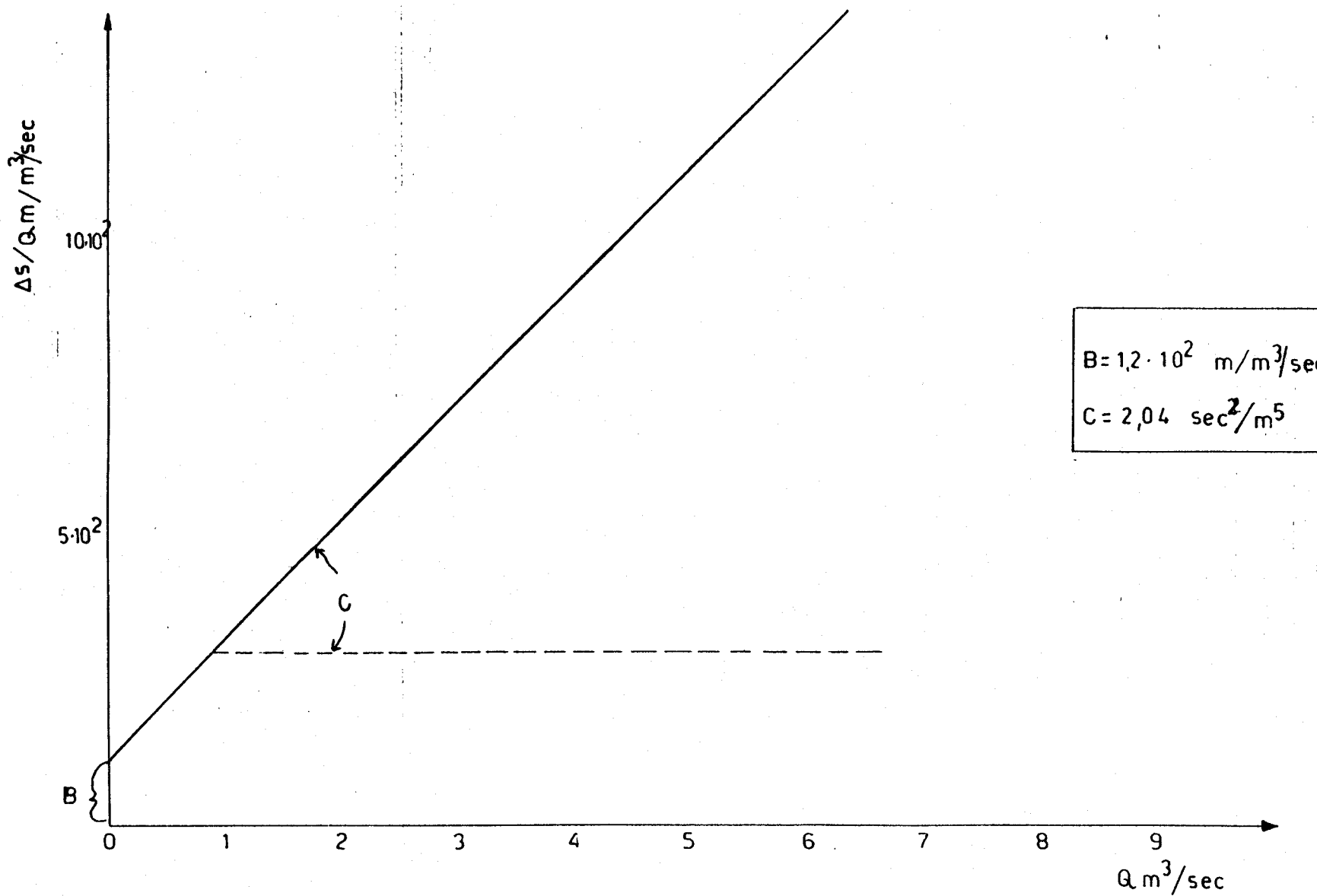
Ακολουθεί παράδειγμα υπολογισμού απωλειών φορτίου για την γεώτρηση KB 103.

#### ΠΙΝΑΚΑΣ 3.4

Στοιχεία αντλήσεως γεωτρήσεως KB 103

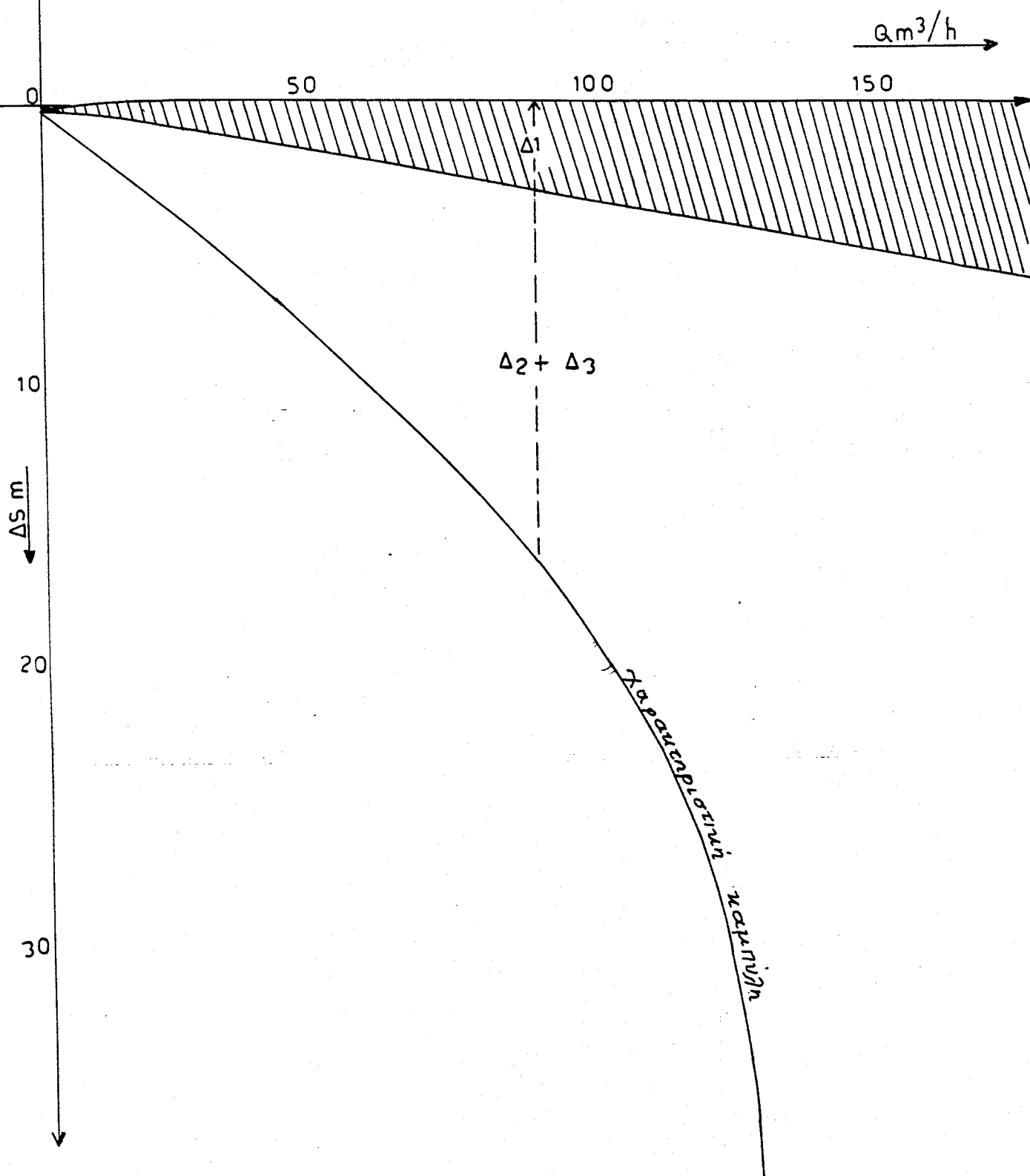
Βαθμίδες αντλήσεως	Διάρκεια σε ώρες	Παροχή $Q$		Δς σε $m$	Ειδική πτώση $\Delta_{\text{Cs}}/Q$ σε $m/m^3/\text{sec}$	Απώλειες φορτίου	
		$m^3/h$	$m^3/sec$			Υδροφόρο $\Delta_1 = B Q$ σε $m$	Γεώτρηση $\Delta_2 + \Delta_3 = C Q^2$ σε $m$
1	2	63	$1.7 \cdot 10^{-2}$	11.10	$6.5 \cdot 10^2$	2.04	5.96
2	2	91	$2.5 \cdot 10^{-2}$	15.90	$6.4 \cdot 10^2$	3.00	10.00
3	2	120	$3.3 \cdot 10^{-2}$	25.93	$7.8 \cdot 10^2$	3.96	18.04
4(σταθ)	2	130	$3.6 \cdot 10^{-2}$	31.47	$8.7 \cdot 10^2$	4.32	28.38

Ευθεία απωλειών φορτίου γεωτρήσεως KB 103



Γραφική παράστασις των απωλειών φορτίου

Γεωτρήσεως KB 103



### 3.2 Γενικοί κανόνες

Προκειμένου να αποφανθούμε εάν οι απώλειες φορτίου σε μια γεώτρηση είναι κανονικές, μεγάλες ή απαράδεκτες, πρέπει να λάβουμε υπόψη την υδαταγωγιμότητα του υδροφόρου, την δοθείσα παροχή και τη διάμετρο της σωλήνωσης. Για γεωτρήσεις μικρής διαμέτρου αυξημένες τιμές των απώλειών φορτίου είναι ανεκτές.

Μεταξύ των συντελεστών  $B$  και  $C$  υφίσταται γενικά η σχέση  $B < C$ .

Γενικά το  $B$  λαμβάνει τιμές από 10 - 500 και όταν:

- $10 < B < 150$  οι απώλειες φορτίου θεωρούνται καλές.
- $150 < B < 350$  " " " " συνήθεις.
- $350 < B$  " " " " μεγάλες.

Για το  $C$  ισχύουν τα εξής:

όταν

- "  $C \leq 1000$  τότε οι απώλειες φορτίου θεωρούνται πολύ καλές.
- "  $1000 < C \leq 5000$  " " " " " καλές.
- "  $5000 < C \leq 10000$  " " " " " ανώμαλες.
- "  $10000 < C$  " " " " " απαράδεκτες.

Στην περίπτωση κατά την οποία οι απώλειες φορτίου υπολογίζονται σε πολύ μεγάλες τιμές σε μια κανονικά κατασκευασμένη και αναπτυγμένη γεώτρηση θα ισχύει γενικά η σχέση  $\Delta_1 > \Delta_2 + \Delta_3$ . Εφόσον δε η τιμή  $\Delta_2 + \Delta_3$  υπερβαίνει την τιμή  $\Delta_1$  τότε πρέπει να αναζητείται ανωμαλία στις απώλειες φορτίου.

Όταν επιλεγεί σαν μέθοδος ανάλυσης η μέθοδος Theis τότε ο τρόπος επεξεργασίας των δεδομένων και σχεδίασης των διαγραμμάτων της δοκιμαστικής αντλησης είναι ο παρακάτω:

3.2.1      **Χαρακτηριστική καμπύλη γεωτρήσεως.** Κατασκευάζεται όπως στο κεφ. 3.1.1.

3.2.2      **Διαγράμματα πτώσης στάθμης Δς - Χρόνου t.** Τα διαγράμματα αυτά παρίστανται γραφικά σε διπλό λογαριθμικό χαρτί και συγκρίνονται μ' ένα σετ καμπυλών (ειδική πρότυπη καμπύλη για κάθε τύπο υδροφόρου) που πρέπει να έχουν προετοιμασθεί από πίνακες που υπάρχουν (πίνακες L. WENZEL) (Καλλέργης, 1986).

Αξονας των χ (τετμημένη) είναι ο χρόνος από την έναρξη της άντλησης και αξονας των γ (τεταγμένη) η πτώση της στάθμης Δς. Μετά σημείο προς σημείο σχηματίζομε την καμπύλη του υδροφόρου στρώματος. Στη συνέχεια σε όμοιο διπλό λογαριθμικό χαρτί χαράσσουμε την πρότυπη καμπύλη του THEIS βάζοντας στον αξονα των χ τις τιμές του  $1/u$  και στον αξονα των γ τις τιμές του  $W(u)$  που παίρνουμε από τους πίνακες του L. WENZEL (Καλλέργης, 1986). Οι πρότυπες αυτές καμπύλες  $W(u) = f(1/u)$  είναι συνήθως προκατασκευασμένες και είναι γνωστές ως ανεστραμμένες πρότυπες καμπύλες THEIS.

Στη συνέχεια φέρνονται σε σύμπτωση τα διαγράμματα  $\Delta s = f(t)$  και  $W(u) = f(1/u)$  διατηρώντας τον αξονα  $W(u)$  παράλληλο  $\Delta s$  και τον αξονα  $1/u$  παράλληλο  $t$ . Οι δυο καμπύλες μπορεί να συμπίπτουν μόνο κατά ένα τμήμα τους (πράγμα που οφείλεται στο γεγονός ότι τα αποτελέσματα της αντλητικής δοκιμασίας αποκλίνουν από τις ιδεώδεις συνθήκες στις οποίες βασίστηκε η κατασκευή της πρότυπης καμπύλης). Μετά στην περιοχή όπου η σύμπτωση είναι η καλύτερη επιλέγομε ένα τυχαίο σημείο A του οποίου ορίζομε τις συντεταγμένες τόσο στη πρότυπη καμπύλη THEIS όσο και στη πειραματική.

Ακολούθως υπολογίζονται τα T και S από τους τύπους:

$$T = \frac{Q}{4 \pi \Delta s} W(u) \quad (19)$$

και

$$S = \frac{4 T t}{r^2} u \quad (20)$$

Ο γραπάνω τρόπος λύσης χρησιμοποιείται όταν υπάρχει ένα μόνο πιεζόμετρο.

Αν χρησιμοποιηθούν ταυτόχρονες μετρήσεις σε τρία ή περισσότερα πιεζόμετρα τότε ακολουθείται η παρακάτω λύση:

Για κάθε πιεζόμετρο σε απόσταση  $r$  κατασκευάζεται η πειραματική καμπύλη  $\Delta\zeta = f(t/r^2)$  και με την διαδικασία που προαναφέρθηκε υπολογίζονται τα  $T$  και  $S$ . Σπότε τα  $T$  και  $S$  του υδροφόρου υπολογίζονται ως ο μέσος όρος των  $T$  και  $S$  για τα τρία πιεζόμετρα.

Ο Vandenberg (1977) (Καλλέργης, 1986, σελίδα 4-44) πρότεινε ένα αλγόριθμο για την επίλυση της εξίσωσης Theis με τη μέθοδο των ελαχιστων τετραγώνων, οπότε επιφεύγονται οι χρονοβόρες γραφικές επιλύσεις.

### **3.3.3. Διάγραμμα υπολογισμού απολειών φορτίου στη γεώτρηση**

Κατασκευάζεται όπως στο κεφ. 3.1.5.

#### **ΠΑΡΑΤΗΡΗΣΗ.**

Κατά την εφαρμογή της λύσης Theis και τη χρησιμοποίηση των προτύπων και λυλών, δεν πρέπει να δίνεται βαρύτητα στις πρώτες μετρήσεις μία και αυτές μπορεί να μην ανταποκρίνονται στην πτώση στάθμης που υπολογίζεται από την εξίσωση:

$$\Delta\zeta = \frac{Q}{4 \pi T} W(u) \quad (21)$$

στην οποία βασίζεται η κατασκευή της πρότυπης καμπύλης. Και τούτο γιατί κατά τα πρώτα 5 ή 10 αρχικά λεπτά της άντλησης το νερό που αντλείται δεν προέρχεται πάντα από το αποθηκευμένο στον υδροφόρο, μετά από στιγμιαία με τη πτώση της πίεσης απελευθέρωσή του, ούτε η παροχή της αντλίας είναι σταθερή όπως δέχεται το πρότυπο Theis.

Αν εξάλλου η πειραματική καμπύλη δείχνει μια μικρή καμπυλότητα όμοια με εκείνη της ανεστραμμένης πρότυπης καμπύλης για  $1/u < 100$ , τότε η γραφική επίλυση γίνεται πρακτικά απροσδιόριστη και η μέθοδος δεν ισχύει (ΚΑΛΛΕΡΓΗΣ, 1986).

#### 4. ΠΛΕΟΝΕΚΤΗΜΑΤΑ ΚΑΙ ΜΕΙΟΝΕΚΤΗΜΑΤΑ ΤΩΝ ΑΝΤΛΗΤΙΚΩΝ ΔΟΚΙΜΑΣΙΩΝ

Τα πλεονεκτήματα των αντλητικών δοκιμασιών σαν μέθοδος έρευνας είναι αυτονόητα. Μια αντλητική δοκιμασία δίνει τιμές των υδραυλικών συνθηκών στις πραγματικές επιτόπιες συνθήκες, οι οποίες τιμές είναι μέσες ενός μεγάλου και αντιπροσωπευτικού όγκου του υδροφόρου. Με μια αντλητική δοκιμή παίρνονται μετρήσεις για τον προσδιορισμό τόσο του κ όσο και του S. Στα ημιύδροφόρα στρώματα εκτιμώνται οι διαρροές νερού από ή προς τον υδροφόρο.

Υπάρχουν όμως δυο μειονεκτήματα, ένα επιστημονικό και ένα οικονομικό. Το επιστημονικό μειονέκτημα είναι η μη μοναδικότητα της ερμηνείας των αντλητικών δοκιμασιών. Στην περίπτωση λοιπόν που δεν υπάρχει γεωλογική "μαρτυρία" είναι δύσκολη η μονοσήμαντη πρόγνωση της επίδρασης οποιουδήποτε προγράμματος αντλήσεων. Το γεγονός της σύμπτωσης θεωρητικής και πειραματικής καμπύλης δεν σημαίνει κατ' ανάγκη ότι ο υδροφόρος εκπληρώνει τις προϋποθέσεις στις οποίες βασίζεται η χάραξη της πρότυπης καμπύλης.

Το οικονομικό μειονέκτημα της μεθόδου είναι το μεγάλο κόστος της. Η κατασκευή υδρογεωτρήσεων και πιεζομετρικών γεωτρήσεων δικαιολογείται τότε μόνο όταν σκοπεύεται η εκμετάλλευση του υδροφόρου με υδρογεωτρήσεις στην περιοχή που γίνονται οι αντλητικές δοκιμασίες. Στις υπόλοιπες περιπτώσεις οι δοκιμές διαπερατώτητας σε πιεζομετρικές γεωτρήσεις είναι και απλούστερες και φθηνότερες και μπορούν να δώσουν αρκετά σημαντικά στοιχεία.

## 5 ΠΑΡΑΤΗΡΗΣΕΙΣ

Στο ΥΠ.ΓΕΩ. η μέθοδος επεξεργασίας των μετρήσεων της δοκιμαστικής άντλησης που χρησιμοποιείται σχεδόν κατ' αποκλειστικότητα είναι η μέθοδος της ευθείας γραμμής ή μέθοδος Jacob, η οποία είναι απλή και εύκολη στη χρήση της. Σπάνια σε μελέτες ακολουθήθηκαν και άλλες ενδεδειγμένες μέθοδοι επεξεργασίας.

Στο σημείο αυτό πρέπει να αναφερθεί ότι σε αρκετές περιπτώσεις κατά την επεξεργασία των αντλήσεων σταθερής παροχής, παρατηρήθησαν ανωμαλίες στη χάραξη της ευθείας πτώσης στάθμης, οφειλόμενες συνήθως σε προβλήματα που έχουν σχέση είτε σε μείωση των στροφών του κινητήρα των αντλιών (που συνεπάγεται μείωση της παροχής) που δεν διαπιστώθηκαν κατά τη διάρκεια της εργασίας υπαίθρου, είτε σε αίτια αλλαγής του μανομετρικού της αντλίας (οφειλόμενα σε περιορισμένης δυναμικότητας υδροφορείς).

Επίσης όπως προαναφέρθηκε στην έκθεση "Ανάπτυξη κριτηρίων για την αποδοχή ή μη δεδομένων των σταθμών-αξιολόγηση δεδομένων" ο "εκ των υστέρων" έλεγχος από τον ηλεκτρονικό υπολογιστή θα δείξει εάν ισχύουν οι μαθηματικές προϋποθέσεις εφαρμογής της μεθόδου αυτής.

Επομένως κατά την σύνταξη του λογισμικού θα πρέπει να ληφθεί πρόνοια ώστε ο μελετητής - χρήστης να έχει την δυνατότητα ανάλυσης - χρήσης και των υπολοίπων υπαρχουσών σήμερα μεθόδων ανάλυσης, ώστε να δύναται να καταλήξει σε ασφαλή και χρήσιμα για τον υδροφορέα και το κοινωνικό σύνολο συμπεράσματα.

**ΒΙΒΛΙΟΓΡΑΦΙΑ**

1. Σούλιος, Γ.Χ., 1981, Γενική Υδρογεωλογία. Εκδοση Α.Π.Θ., Θεσσαλονίκη.
2. Καλλέργης, Γ.Α., 1986, Εφαρμοσμένη Υδρογεωλογία. Εκδοση Τ.Ε.Ε., Αθήνα.
3. Νίκας, Κ., 1990, Δοκιμαστικές Αντλήσεις Υδρογεωτρήσεων. Ελληνική Επιτροπή Υδρογεωλογίας - Σεμινάριο "Εφαρμοσμένης Υδρογεωλογίας". Αθήνα.
4. Παπαδοπούλου, Κ.Α., 1976, Πρακτικό Εγχειρίδιον δια την Γενικήν Επεξεργασίαν των Δοκιμαστικών Αντλήσεων. Εκδοση ΥΠ.ΓΕΩ., Λάρισα.

Π ΑΡΑΡΤΗΜΑ 1

Πλήρης επεξεργασμένη δοκιμαστική άντληση υδρογεώτρησης  
(με δοκιμές βαθμίδων με επαναφορά στάθμης)

LB-109

ΠΙΝΑΚΕΣ ΠΑΡΑΤΗΡΗΣΕΩΝ ΔΟΚ. ΑΝΤΛΗΣΕΩΝ  
PUMPING TESTS MEASUREMENT TABLES

A = 0,50 m 1"

14"

ΕΙΔΟΣ ΑΝΤΛΙΑΣ : ΠΟΜΟΝΑ  
TYPE OF PUMP : AXIAL PUMP 8 ..  
ΒΑΘΟΣ ΕΓΚΑΤΑΣΤΑΣΕΩΣ 58.90m  
DEPTH OF PUMPINLETINSTAL

ΥΔΡΟΣΤΑΤΙΚΗ ΣΤΑΘΜΗ  
STATIC WATER LEVEL  
13.72m

ΗΜΕΡΟΜΗΝΙΑ DATE	ΩΡΑΙ HOURS	ΔΙΑΡΚΕΙΑ ΑΝΤΛΗΣΕΩΣ PUMPING DURATION	ΠΑΡΟΧΗ YIELD $a = m^3/h$	ΣΤΑΘΜΗ ΥΔΑΤΟΣ WATER LEVEL	ΠΤΩΣΙΣ ΣΤΑΘΜΗΣ DRAW DOWN	ΠΑΡΑΤΗΡΗΣΕΙΣ-REMAR
1	2	3	4	5	6	7
3-11-75	10.00'	0'	133	13.72		Ergafis σε θαλάσσιας
	10.00' 30''	0' 30''		15.19		
	10.01'	1'		15.24		
	10.01' 30'	1' 30''		15.30		
	10.02'	2'		15.32		
	10.02' 30'	2' 30''		15.37		
	10.03'	3'		15.35		
	10.03' 30'	3' 30''		15.38		
	10.04'	4'		15.39		
	10.04' 30''	4' 30''		15.40		
	10.05'	5'		15.41		
	10.06'	6'		15.46		
	10.07'	7'		15.47		
	10.08'	8'		15.48		
	10.09'	9'		15.50		
	10.10'	10'		15.52		
	10.12'	12'		15.55		
	10.14'	14'		15.59		
	10.16'	16'		15.61		
	10.18'	18'		15.62		
	10.20'	20'		15.63		
	10.25'	25'		15.68		
	10.30'	30'		15.71		
	10.35'	35'		15.75		
	10.40'	40'		15.78		
	10.45'	45'		15.78		
	10.50'	50'		15.78		
	10.55'	55'		15.80		
	11.00'	60'		15.81		
	11.10'	70'		15.81		
	11.20'	80'		15.83		
	11.30'	90'		15.87		
	11.40'	100'		15.89		
	11.50'	110'		15.89		
	12.00'	120'		15.87		
	Μετρηθείσας ανακαραρούσα έσοδή μας					
	12.00'	0'		15.87		
	12.00' 30''	0' 30''		14.41		
	12.01'	1'		14.40		
	12.01' 30''	1' 30''		14.37		
	12.02'	2'		14.33		
	12.02' 30''	2' 30''		14.31		
	12.03'	3'		14.29		
	12.03' 30''	3' 30''		14.26		

LB-109

ΠΙΝΑΚΕΣ ΠΑΡΑΤΗΡΗΣΕΩΝ ΔΟΚ. ΑΝΤΛΗΣΕΩΝ  
PUMPING TESTS MEASUREMENT TABLES

A = 0.60m 1"

14"

A

ΕΙΔΟΣ ΑΝΤΛΙΑΣ : ΠΟΜΟΝΑ  
TYPE OF PUMP : AXIAL PUMP 8 ..  
ΒΑΘΟΣ ΕΓΚΑΤΑΣΤΑΣΕΩΣ  
DEPTH OF PUMPINLETINSTAL 58.90m

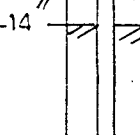
ΥΔΡΟΣΤΑΤΙΚΗ ΣΤΑΘΜΗ  
STATIC WATER LEVEL  
13.72m

ΗΜΕΡΟΜΗΝΙΑ DATE	ΩΡΑΙ HOURS	ΔΙΑΡΚΕΙΑ ΑΝΤΛΗΣΕΩΣ PUMPING DURATION	ΠΑΡΟΧΗ ΥΙΕΛΟ $a = m^3/h$	ΣΤΑΘΜΗ ΥΔΑΤΟΣ WATER LEVEL	ΠΤΩΣΙΣ ΣΤΑΘΜΗΣ DRAW DOWN	ΠΑΡΑΤΗΡΗΣΕΙΣ-REMAR
1	2	3	4	5	6	7
3-11-75	12.05'	5'		14.21		
	12.06'	6'		14.20		
	12.07'	7'		14.18		
	12.28'	8'		14.16		
	12.09'	9'		14.14		
	12.10'	10'		14.13		
	12.12'	12'		14.11		
	12.14'	14'		14.09		
	12.16'	16'		14.06		
	12.18'	18'		14.04		
	12.20'	20'		14.02		
	12.25'	25'		14.00		
	12.30'	30'		13.98		
	12.35'	35'		13.96		
	12.40'	40'		13.94		
	12.45'	45'		13.92		
	12.50'	50'		13.91		
	12.55'	55'		13.90		
	13.00'	60'		13.89		
	13.10'	80'		13.88		
	13.20'	80'		13.87		
	13.30'	90'		13.86		
	13.40'	100'		13.85		
	13.50'	110'		13.84		
	14.00'	120'		13.83		
	14.00'	0'	200	13.83		Έναρξης Β' βαθύτερα
	14.00'	30''	0' 30''			
	14.01'	1'		16.33		
	14.01'	30''	1' 30''	16.43		
	14.02,	2'		16.50		
	14.09	30''	2' 30''	16.54		
	14.03'	3'		16.59		
	14.03,	30''	3' 30''	16.52		
	14.04,	4'		16.64		
	14.04	30''	4' 30''	16.66		
	14.05'	5'		16.68		
	14.06'	6'		16.72		
	14.07'	7'		16.75		
	14.08'	8'		16.77		
	14.09'	9'		16.79		
	14.10'	10'		16.81		
	14.12'	12'		16.83		
	14.14'	14'		16.86		
	14.16'	16'		16.89		

LB-109

ΠΙΝΑΚΕΣ ΠΑΡΑΤΗΡΗΣΕΩΝ ΔΟΚ. ΑΝΤΛΗΣΕΩΝ  
PUMPING TESTS MEASUREMENT TABLES

A = 0,60 m 1"



ΕΙΔΟΣ ΑΝΤΛΙΑΣ : ΠΟΜΟΝΑ  
TYPE OF PUMP : AXIAL PUMP 8..

ΒΑΘΟΣ ΕΓΚΑΤΑΣΤΑΣΕΩΣ  
DEPTH OF PUMPINLETINSTAL 58.90m

ΥΔΡΟΣΤΑΤΙΚΗ ΣΤΑΘΜΗ  
STATIC WATER LEVEL  
13.72m

ΗΜΕΡΟΜΗΝΙΑ DATE	ΩΡΑΙ HOURS	ΔΙΑΡΚΕΙΑ ΑΝΤΛΗΣΕΩΣ PUMPING DURATION	ΠΑΡΟΧΗ ΥΙΕΛΟ $a = m^3/h$	ΣΤΑΘΜΗ ΥΔΑΤΟΣ WATER LEVEL	ΠΤΩΣΙΣ ΣΤΑΘΜΗΣ DRAW DOWN	ΠΑΡΑΤΗΡΗΣΕΙΣ-REMAR
1	2	3	4	5	6	7
				16.99		
				16.94		
				17.00		
				17.12		
				17.14		
				17.15		
				17.17		
				17.19		
3-11-75	15.00'	60'		17.21		
	15.10'	70'		17.26		
	15.20'	80'		17.27		
	15.30'	90'		17.29		
	15.40'	100'		17.34		
	15.50'	110'		17.35		
	16.00'	120'		17.40		
	<i>Μετρητής Εγκατάστασης Στοιχυών</i>					
	16.00'	0'		17.40		
	16.00'	30''		15.49		
	16.01'	1'		14.89		
	16.01'	30''	1' 30''	14.82		
	16.02'	2'		14.78		
	16.02'	30''	2' 30''	14.73		
	16.03'	3'		14.69		
	16.03'	30''	3' 30''	14.66		
	16.04'	4'		14.64		
	16.04'	30''	4' 30''	14.62		
	16.05'	5'		14.57		
	16.06'	6'		14.55		
	16.07'	7'		14.51		
	16.08'	8'		14.49		
	16.09'	9'		14.46		
	16.10'	10'		14.45		
	16.12'	12'		14.42		
	16.14'	14'		14.38		
	16.16'	16'		14.36		
	16.18'	18'		14.33		
	16.20'	20'		14.32		
	16.25'	25'		14.28		
	16.30'	30'		14.24		
	16.35'	35'		14.21		
	16.40'	40'		14.18		
<i>Έναρξης γ' έκδυσης</i>						
4-11-75	09.00'	0'	276	13.80		
	09	30''	0' 30''	17.12		
	09.01	1'		17.52		

LB-109

ΠΙΝΑΚΕΣ ΠΑΡΑΤΗΡΗΣΕΩΝ ΔΟΚ. ΑΝΤΛΗΣΕΩΝ  
PUMPING TESTS MEASUREMENT TABLES

A = 0.60 m 1"

ΕΙΔΟΣ ΑΝΤΛΙΑΣ : ΠΟΜΟΝΑ  
TYPE OF PUMP : AXIAL PUMP 8 ..  
ΒΑΘΟΣ ΕΓΚΑΤΑΣΤΑΣΕΩΣ 58.90m  
DEPTH OF PUMPINLETINSTAL

ΥΔΡΟΣΤΑΤΙΚΗ ΣΤΑΘΜΗ  
STATIC WATER LEVEL  
13.72m

14"

A

ΗΜΕΡΟΜΗΝΙΑ DATE	ΩΡΑΙ HOURS	ΔΙΑΡΚΕΙΑ ΑΝΤΛΗΣΕΩΣ PUMPING DURATION	ΠΑΡΟΧΗ YIELD $a = m^3/h$	ΣΤΑΘΜΗ ΥΔΑΤΟΣ WATER LEVEL	ΠΤΩΣΙΣ ΣΤΑΘΜΗΣ DRAW DOWN	ΠΑΡΑΤΗΡΗΣΕΙΣ-REMAR
1	2	3	4	5	6	7
4-11-75	09.01'	30'' 1' 30''		17.57		
	09.02'	2'		17.64		
	09.02'	30'' 2' 30''		17.68		
	09.03'	3'		17.72		
	09.03'	30'' 3' 30''		17.77		
	09.04'	4'		17.80		
	09.04'	30'' 4' 30''		17.83		
	09.05'	5'		17.86		
	09.06'	6'		17.93		
	09.07'	7'		17.97		
	09.08'	8'		18.09		
	09.09'	9'				
	09.10'	10'		18.07		
	09.12'	12'		18.11		
	09.14'	14'		18.20		
	09.20'	20'		18.28		
	09.25'	25'		18.40		
	09.30'	30'		18.44		
	09.35'	35'		18.50		
	09.40'	40'		18.54		
	09.45'	45'		18.61		
	09.50'	50'		18.64		
	09.55'	55'		18.67		
	10.00'	60'		18.70		
	10.10'	70'		18.73		
	10.20'	80'		18.81		
	10.30'	90'		18.83		
	10.40'	100'		18.89		
	10.50'	110'		18.94		
	11.00'	120'		18.98		
	<i>Μειρήσια εποχηγορία Σαββάτους</i>					
	11.00'	0'		18.98		
	11.00'	30'' 0' 30''		15.98		
	11.01'	1'		15.23		
	11.01'	30'' 1' 30''		15.18		
	11.02'	9'		15.11		
	11.02'	30'' 2' 30''		15.03		
	11.03'	3'		14.99		
	11.03'	30'' 3' 30''		14.97		
	11.04'	4'		14.94		
	11.04'	30'' 4' 30''		14.90		
	11.05'	5'		14.86		
	11.06'	6'		14.83		
	11.07'	14'		14.76		
	11.08'	8'		14.74		

LB-109

ΠΙΝΑΚΕΣ ΠΑΡΑΤΗΡΗΣΕΩΝ ΔΟΚ. ΑΝΤΛΗΣΕΩΝ  
PUMPING TESTS MEASUREMENT TABLES

A = 0.60 m 1"

14"

ΕΙΔΟΣ ΑΝΤΛΙΑΣ : ΠΟΜΟΝΑ  
TYPE OF PUMP : AXIAL PUMP 8 ..  
ΒΑΘΟΣ ΕΓΚΑΤΑΣΤΑΣΕΩΣ  
DEPTH OF PUMPINLETINSTAL 58.90m

ΥΔΡΟΣΤΑΤΙΚΗ ΣΤΑΘΜΗ  
STATIC WATER LEVEL  
13.72m

ΗΜΕΡΟΜΗΝΙΑ DATE	ΩΡΑΙ HOURS	ΔΙΑΡΚΕΙΑ ΑΝΤΛΗΣΕΩΣ PUMPING DURATION	ΠΑΡΟΧΗ YIELD a. = m <sup>3</sup> /h	ΣΤΑΘΜΗ ΥΔΑΤΟΣ WATER LEVEL	ΠΤΩΣΙΣ ΣΤΑΘΜΗΣ DRAW DOWN	ΠΑΡΑΤΗΡΗΣΕΙΣ-REMAR
1	2	3	4	5	6	7
4-11-75	11.09'	9'		14.71		
	11.10'	10'		14.67		
	11.12'	12'		14.64		
	11.14'	14'		14.61		
	11.16'	16'		14.60		
	11.18'	18'		14.54		
	11.19'	20'		14.48		
	11.25'	25'		14.45		
	11.30'	30'		14.41		
	11.35'	35'		14.36		
	11.40'	40'		14.30		
	11.45'	45'		14.25		
	11.50'	50'		14.20		
	11.55'	55'		14.17		
	12.00'	60'		14.14		
	12.10'	70'		14.11		
	12.20'	80'		14.10		
	12.30'	90'		14.08		
	12.40'	100'		14.07		
	12.50'	110'		14.05		
	13.00'	120'		14.03		
	16.00'	00' 30"	327	13.92		Eναρξη επαγγελματικής Παροχής
	16.00'	30' 00' 30"		18.30		
	16.01'	1'		18.57		
	16.01'	30" 1' 30"		18.67		
	16.02'	2'		18.79		
	16.02'	30" 2' 30"		16.86		
	16.03'	3'		18.92		
	16.03'	30" 3' 30"		18.96		
	16.04'	4'		18.98		
	16.04'	30" 4' 30"		19.04		
	16.05'	5'		19.12		
	16.06'	6'		19.12		
	16.07'	7'		19.16		
	16.08'	8'		19.20		
	16.09'	9'		19.27		
	16.10'	10'		19.31		
	16.12'	12'		19.34		
	16.14'	14'		19.45		
	16.16'	16'		19.49		
	16.18'	18'		19.51		
	16.20'	20'		19.58		
	16.25'	25'		19.68		
	16.30'	30'		19.76		
	16.35'	35'		19.83		

LB-109

ΠΙΝΑΚΕΣ ΠΑΡΑΤΗΡΗΣΕΩΝ ΔΟΚ. ΑΝΤΛΗΣΕΩΝ  
PUMPING TESTS MEASUREMENT TABLES

A = 0,60 m 1"

14"

A

ΕΙΔΟΣ ΑΝΤΛΙΑΣ : ΠΟΜΟΝΑ  
TYPE OF PUMP : AXIAL PUMP 8 ..  
ΒΑΘΟΣ ΕΓΚΑΤΑΣΤΑΣΕΩΣ  
DEPTH OF PUMP INLET INSTAL 58.90m

ΥΔΡΟΣΤΑΤΙΚΗ ΣΤΑΘΜΗ  
STATIC WATER LEVEL  
13.72m

ΗΜΕΡΟΜΗΝΙΑ DATE	ΩΡΑΙ HOURS	ΔΙΑΡΚΕΙΑ ΑΝΤΛΗΣΕΩΣ PUMPING DURATION	ΠΑΡΟΧΗ YIELD $a = m^3/h$	ΣΤΑΘΜΗ ΥΔΑΤΟΣ WATER LEVEL	ΠΤΩΣΙΣ ΣΤΑΘΜΗΣ DRAW DOWN	ΠΑΡΑΤΗΡΗΣΕΙΣ-REMAR
1	2	3	4	5	6	7
4-11-75	16.40'	40'		19.90		
	16.45'	45'		19.98		
	16.50'	50'		20.01		
	16.55'	55'		20.05		
	17.00'	60'		20.11		
	17.10'	70'		20.19		
	17.20'	80'		20.23		
	17.30'	90'		20.30		
	17.40'	100'		20.36		
	17.50'	110'		20.43		
	18.00'	120'		20.44		
	18.15'	135'		20.51		
	18.30'	150'		20.56		
	18.45'	165'		20.60		
	19.00'	180'		20.65		
	19.30'	210		20.75		
	20.00'	240'		20.83		
	20.30'	270'		20.88		
	21.00'	300'				
	23.00'	420'	327	21.14		
	23.30'	450'		21.15		
	24.00'	480		21.16		
	00.30'	510'		21.17		
	01.00'	540'		21.23		
	01.30'	570'		21.24		
	02.00'	600'		21.27		
	02.30'	630'		21.30		
	03.00'	660'		21.37		
	03.30'	690'		21.37		
	04.00'	720'		21.40		
	04.30'	750'		21.42		
	05.00'	780'		21.43		
	06.00'	840'		21.44		
	07.00'	900'		21.46		
	08.00'	960'		21.51		
	09.00'	1020'		21.52		
	10.00'	1080'		21.55		
	11.00'	1140'		21.58		
	12.00'	1200'		21.65		
	13.00'	1260'		21.66		
	14.00'	1320'		21.67		
	15.00'	1380'		21.72		
	16.00'	1440'		21.75		

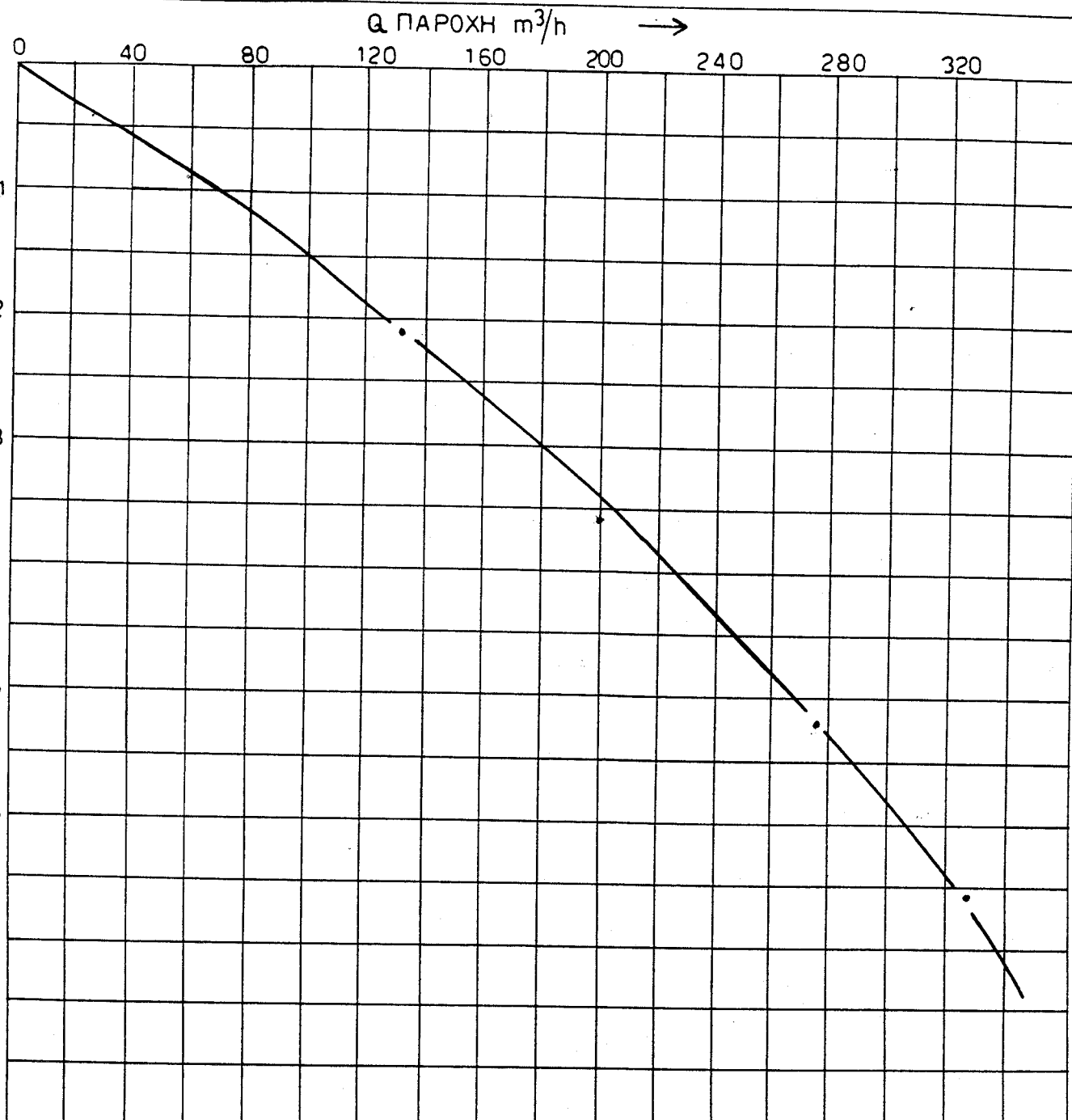
Μετρήσεις επαναληφθείσας Σεσίδην

4-11-75	16.00'	00'	21.75
	16.00'	30" 00' 30"	17.04
	16.01'	1'	17.02
	16.01'	30" 1' 30"	16.90
	16.02'	2'	16.80
	16.02'	30" 2' 30"	16.77
	16.03'	3'	16.69
	16.03'	30" 3' 30"	16.60
	16.04'	4'	16.58
	16.04'	30" 4' 30"	16.55
	16.05'	5'	16.48
	16.06'	6'	16.42
	16.07'	7'	16.36
	16.08'	8'	16.30
	16.09'	9'	16.29
	16.10'	10'	16.24
	16.12'	12'	16.15
	16.14'	14'	16.09
	16.16'	16'	16.03
	16.18'	18'	15.97
	16.20'	20'	15.92
	16.25'	25'	15.84
	16.30'	30'	15.73
	16.35'	35'	15.62
	16.40'	40'	15.62
	16.45'	45'	15.56
	16.50'	50'	15.52
	16.55'	55'	15.48
	17.00'	60'	15.43
	17.10'	70'	15.36
	17.20'	80'	15.29
	17.30'	90'	15.25
	17.40'	100'	15.20
	17.50'	110'	15.16
	18.00'	120'	15.14
	18.15'	135'	15.07
	18.30'	150'	15.02
	18.45'	165'	14.97
	19.00'	180'	14.95
	19.30'	210'	14.89
	20.00'	240'	14.85
	20.30'	270'	14.81
	21.00'	300'	14.79
	21.30'	330'	14.75
	22.00'	360'	14.72
	22.30'	390'	14.70
	23.00'	490'	14.68
	23.30'	450'	14.66
	24.00'	480'	14.64
	00.30'	510'	16.62
	01.00'	540'	14.59
	01.30'	570'	14.58
	02.00'	600'	14.57
	02.30'	630'	14.56

4-11-75	03.00	660	14 54
	03.30'	690'	14.52
	04.00'	720'	14.50
	04.30'	750'	14.49
	05.00'	780'	14.48
	05.30'	810'	14.47
	06.00'	840'	14.46
	07.00'	900'	14.44
	08.00'	960'	14.42
	09.00'	1020'	14.40
	10.00'	10.80'	14.39
	11.00'	1140'	14.37
	12.00'	12.00'	14.36
	13.00'	12.60'	14.35
	14.00'	13.26	14.34
	15.00'	1380'	14.32.
	16.00'	1440'	14.30

ΧΑΡΑΚΤΗΡΙΣΤΙΚΗ ΚΑΜΠΥΛΗ  
CHARACTERISTIC CURVE

LB-109



Βασικός	Διάρκεια (h)	$Q \text{ m}^3/\text{h}$	$\Delta S (\text{m})$
1	2	133	215
2	2	200	368
3	2	276	526
4	2	327	652

Στατική στάθμη static water lever 13,72 m

Ημερομηνία Date 1/11/75

A= Κρίσιμον σημείον Critical point

$Q_{\text{max}} = \text{Κρίσιμος παροχή Critical yield} > 300 \text{ m}^3/\text{h}$

$\Delta S_{\text{max}} = \text{Αντίστοιχος πτώσης σταθμής} > 5,75 \text{ m}$

Corresponding drawdown

LB109

 $\log(t)$ 

## Ι ΒΑΘΜΙΔΟΣ

ΠΤΩΣΗΣ ΔΙΑΒΡΟΧΗΣ

15,90

30

40

50

60

70

80

90

 $C=0,37m$  $C=0,35m$ 10<sup>3</sup>

13,80

$$Q = 133 \text{ m}^3/\text{h}$$

$$T_n = 1,75 \cdot 10^{-2} \text{ m}^2/\text{sec}$$

$$T_E = 1,88 \cdot 10^{-2} \text{ m}^2/\text{sec}$$

90

14,00

10

20

20

30

30

40

40

50

50

60

60

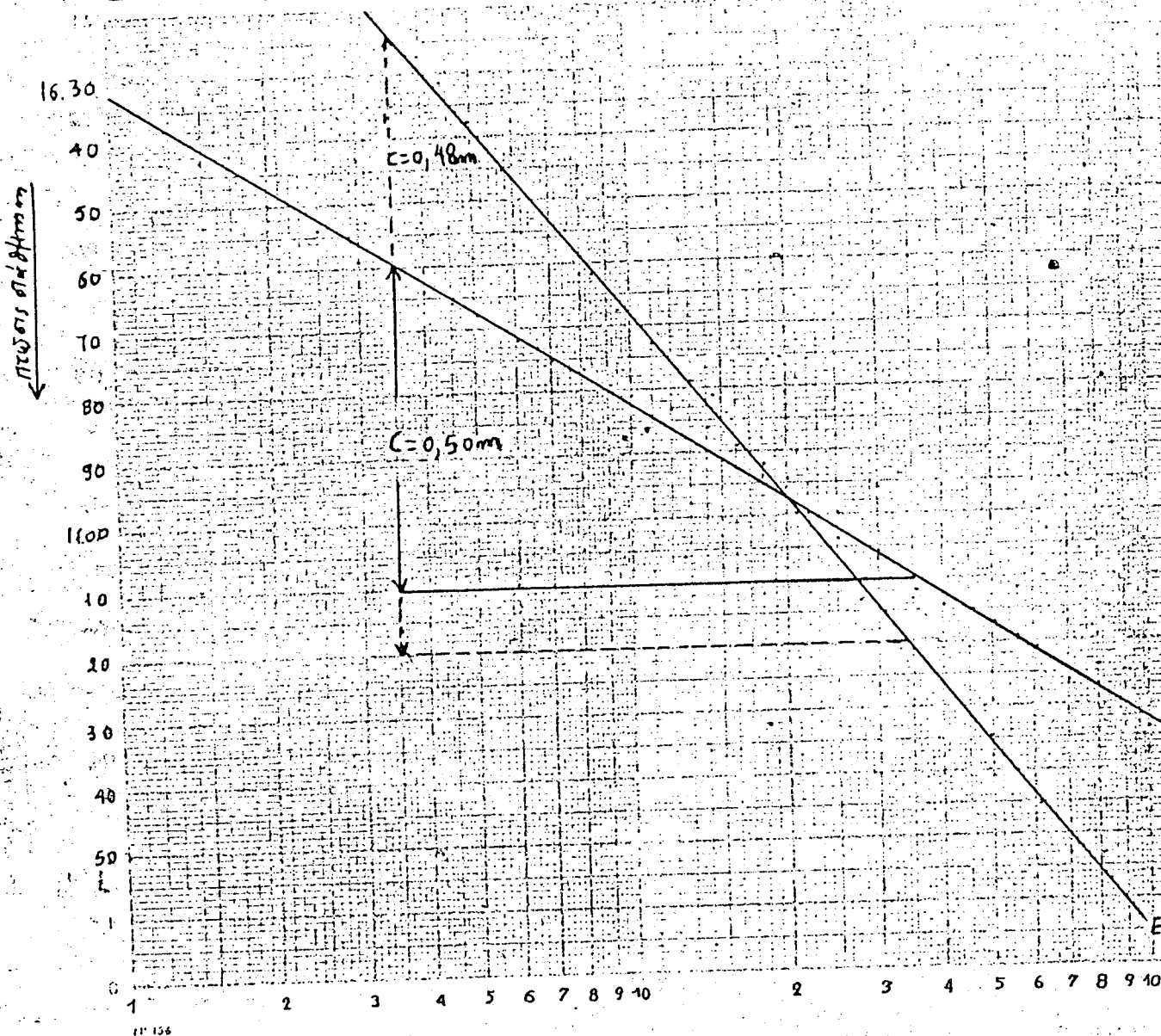
 $\log t + t'$ 1 2 3 4 5 6 7 8 9 10 1 2 3 4 5 6 7 8 9 10<sup>3</sup>

ΔΙΑΓΡΑΜΜΑ ΠΤΩΣΕΩΣ ΣΤΑΘΜΗΣ -  $\log t$  & ΕΠΑΝΟΔΟΥ ΣΤΑΘΜΗΣ -  $\log \frac{t}{t'}$

LB-109

II ΒΑΘΜΙΔΟΣ

$\log(t)$



$Q = 200\text{m}^3/\text{h}$   
 $T_B = 9.01 \cdot 10^{-2}\text{ m}^2/\text{sec}$   
 $T_E = 9.09 \cdot 10^{-2}\text{ m}^2/\text{sec}$

14.90

30

40

50

60

70

80

90

100

110

120

130

140

150

160

170

180

190

200

210

220

230

240

250

260

270

280

290

300

310

320

330

340

350

360

370

380

390

400

410

420

430

440

450

460

470

480

490

500

510

520

530

540

550

560

570

580

590

600

610

620

630

640

650

660

670

680

690

700

710

720

730

740

750

760

770

780

790

800

810

820

830

840

850

860

870

880

890

900

910

920

930

940

950

960

970

980

990

1000

1010

1020

1030

1040

1050

1060

1070

1080

1090

1100

1110

1120

1130

1140

1150

1160

1170

1180

1190

1200

1210

1220

1230

1240

1250

1260

1270

1280

1290

1300

1310

1320

1330

1340

1350

1360

1370

1380

1390

1400

1410

1420

1430

1440

1450

1460

1470

1480

1490

1500

1510

1520

1530

1540

1550

1560

1570

1580

1590

1600

1610

1620

1630

1640

1650

1660

1670

1680

1690

1700

1710

1720

1730

1740

1750

1760

1770

1780

1790

1800

1810

1820

1830

1840

1850

1860

1870

1880

1890

1900

1910

1920

1930

1940

1950

1960

1970

1980

1990

2000

2010

2020

2030

2040

2050

2060

2070

2080

2090

2100

2110

2120

2130

2140

2150

2160

2170

2180

2190

2200

2210

2220

2230

2240

2250

2260

2270

2280

2290

2300

2310

2320

2330

2340

2350

2360

2370

2380

2390

2400

2410

2420

2430

2440

2450

2460

2470

2480

2490

2500

2510

2520

2530

2540

2550

2560

2570

2580

2590

2600

2610

2620

2630

2640

2650

2660

2670

2680

2690

2700

2710

2720

2730

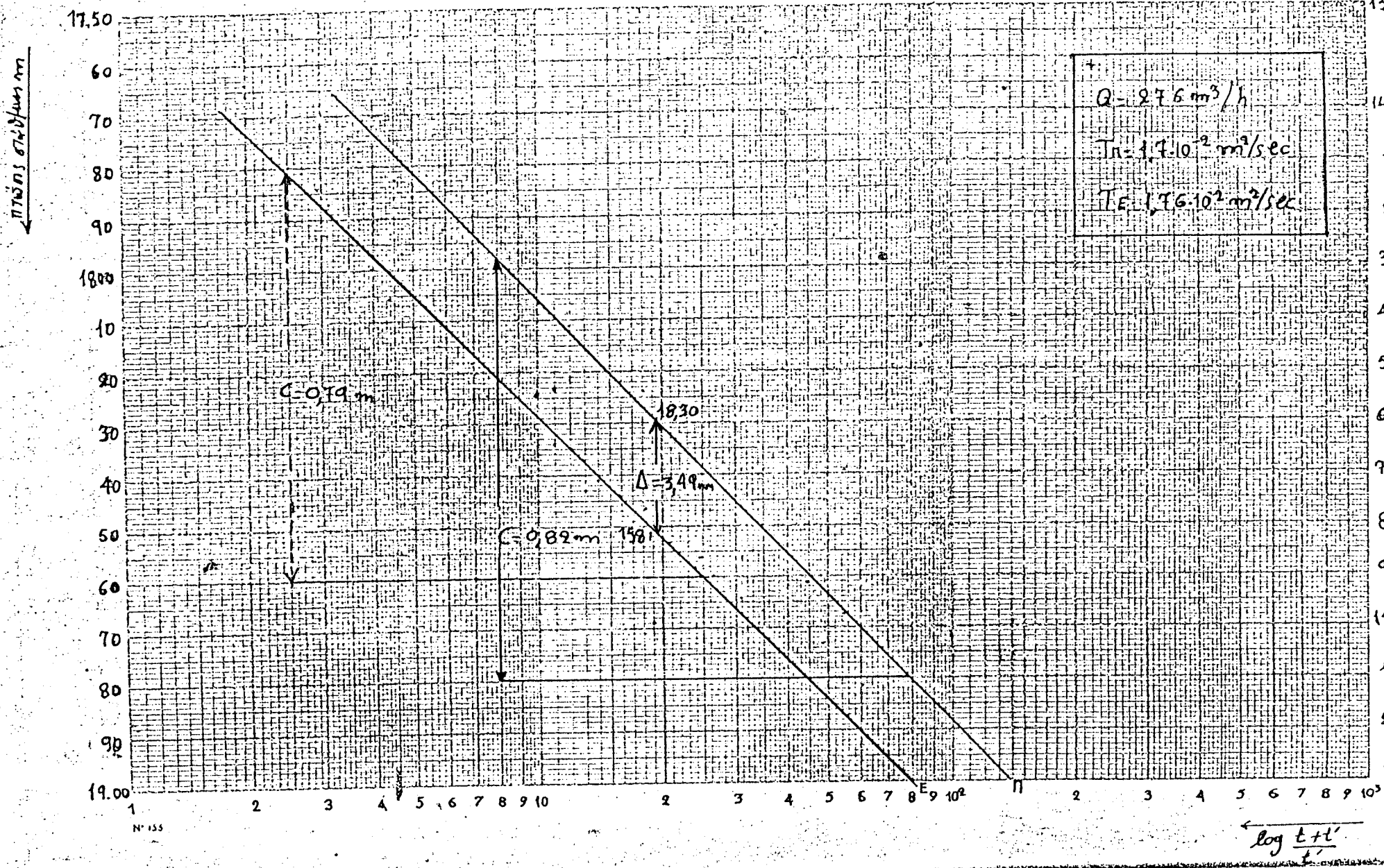
2740

2750

2760

2770

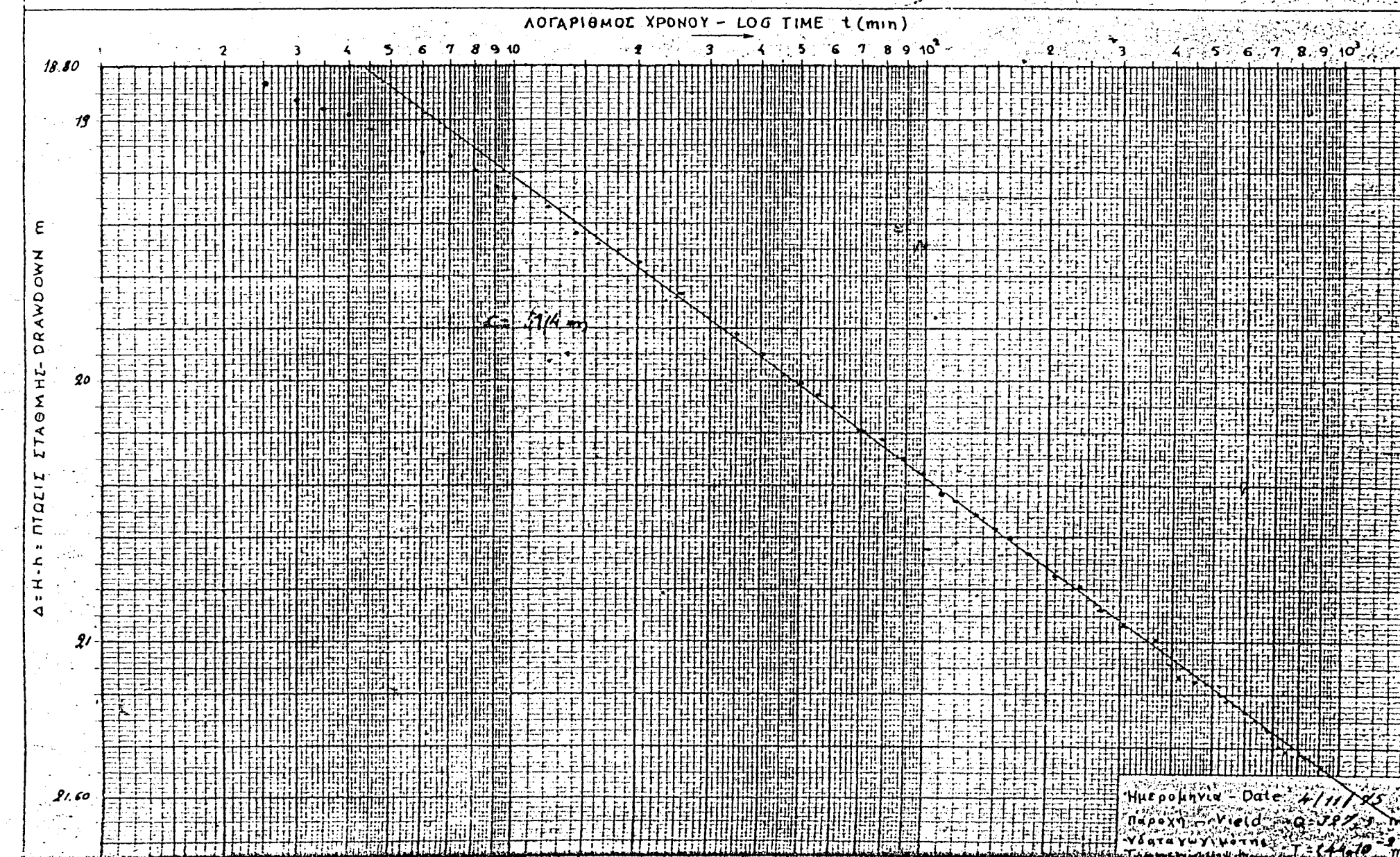
## III ΒΑΘΜΙΔΟΣ

 $\log(t)$ 

N° 155

ΔΙΑΓΡΑΜΜΑ ΠΤΩΣΕΩΣ ΣΤΑΘΜΗΣ ΣΥΝΑΡΤΗΣΕΙ ΛΟΓ. ΧΡΟΝΟΥ  
CURVE OF DRAWDOWN IN FUNCTION WITH THE LOG OF TIME

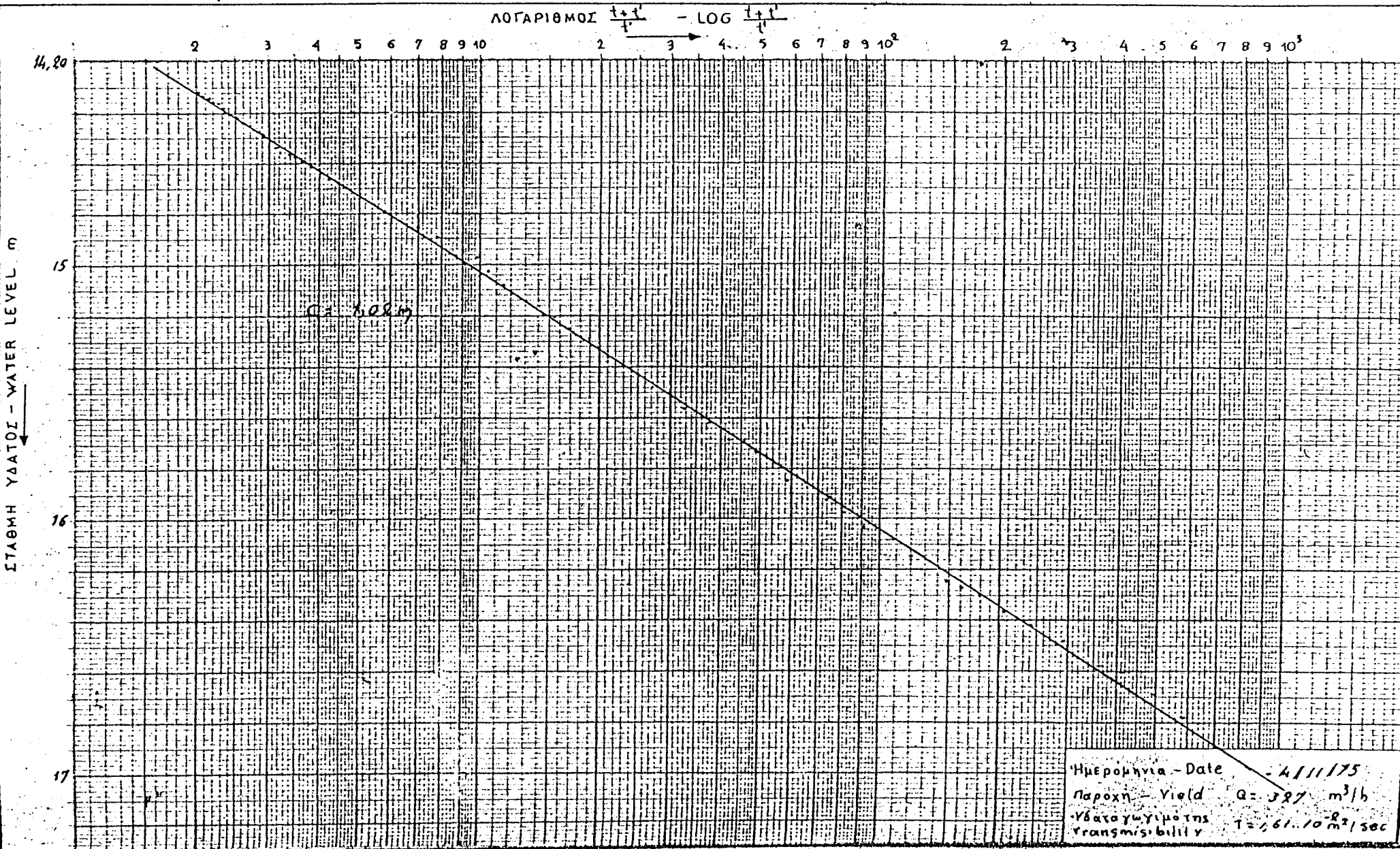
LB-109



ΔΙΑΓΡΑΜΜΑ ΕΠΑΝΟΔΟΥ ΣΤΑΘΜΗΣ ΣΥΝΑΡΤΗΣΕΙ ΛΟΓ :  $\frac{t+t'}{t}$   
 CURVE OF W.L. RECOVERY IN FUNCTION WITH THE LOG :  $\frac{t+t'}{t}$

τ = χρόνος άντλησης  
 pumping duration  
 t' = χρόνος επαναφοράς στάθμης  
 duration of recovery

LB-109



LB-109

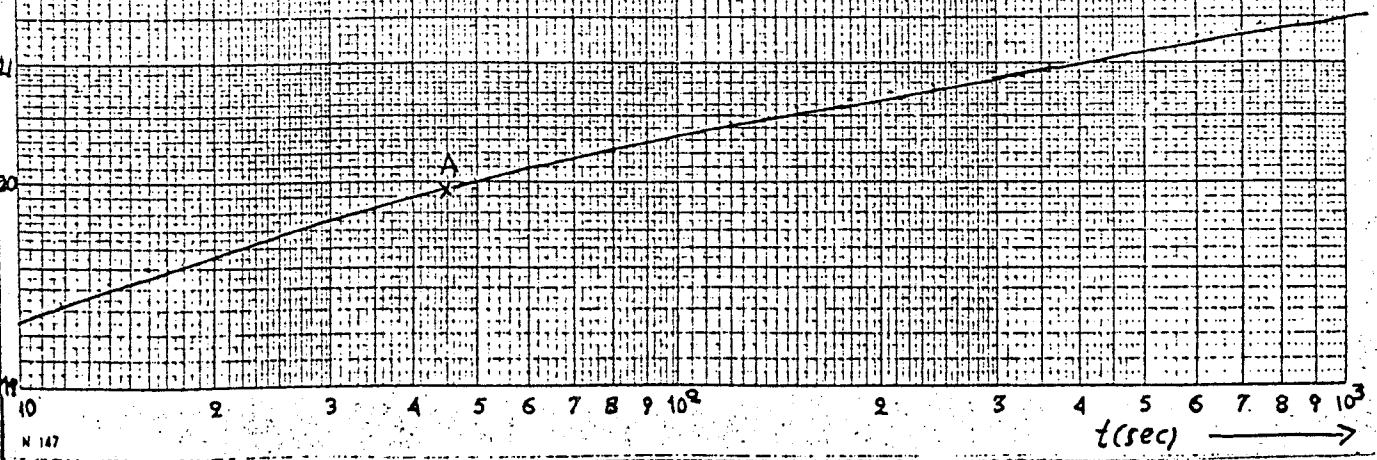
Καμπύλη πτώσεως στάθμου

δια τής

Μεσσών τοῦ Θέα

$$= 0.5 \cdot 10^{-2} \text{ m}^2/\text{sec}$$

A



## Π ΑΡ ΑΡ ΤΗ ΜΑ 2

·Πλήρης επεξεργασμένη δοκιμαστική άντληση υδρογεώτρησης  
(με δοκιμές συνεχιζομένων βαθμίδων)

## ΥΠΟΥΡΓΕΙΟ ΓΕΩΡΓΙΑΣ

ΕΡΓΑ με Κ.Α. 7781703  
11/4/85

## ΓΕΩΤΡΗΣΗ Ερευνητική

ΝΟ 1

ΔΗΜΟΣ ή ΚΟΙΝΟΤΗΣ: Πυλί ΘΕΣΗ. Λιμνάρια

ΣΥΝΤΕΤΑΓΜΕΝΕΣ  
φύλλο Γ.Υ.ΣX =  
Ψ =  
ΥΨΩΜ.

ΧΡΟΝΟΣ	ΠΤΩΣΗ ΣΤΑΘΜΗΣ	ΠΑΡΟΧΗ σε $m^3/h$	ΠΑΡΑΤΗΡΗΣΕΙΣ	ΧΡΟΝΟΣ σε δευτερ.	ΑΠΟΛ.ΠΤΩΣΗ ΣΤΑΘΜΗΣ σε μ.
300'	2,40	60		min sec	
1'	6,80		A= 0,2 %	1' 60''	4,40
2'	6,95			2' 120''	4,55
3'	7,90		A= 0,1 %	3' 180''	4,80
4'	7,30			4' 240''	4,90
5'	7,38			5' 300''	4,98
6'	7,50			6' 360''	5,10
7'	7,58			7' 420''	5,18
8'	7,70			8' 480''	5,30
9'	7,78			9' 540''	5,38
10'	7,85		A = 0 %	10' 600''	5,45
12'	7,90			12' 720''	5,50
14'	8,00			14' 840''	5,60
16'	8,15			16' 960''	5,75
18'	8,20			18' 1080''	5,80
20'	8,25			20' 1200''	5,85
25'	8,40			25' 1500''	6,00
30'	8,60		A=0 %	30' 1800''	6,20

ΧΡΟΝΟΣ	ΠΙΩΣΗ ΣΤΑΘΜΗΣ	ΠΑΡΟΥΛΙ σέμ3/η	ΠΑΡΑΓΓΗΡΗ ΣΕ ΕΙΣ	ΣΕ ΔΕΥΤΕΡ.	ΣΤΑΘΜΗΣ ΣΕ Η.
8,35'	8,90			35'	2100'' 6,40
8,40'	8,98			40'	2400'' 6,58
8,45'	9,03			45'	2700'' 6,63
8,50'	9,10			50'	3000'' 6,70
8,55'	9,30			55'	3300'' 6,90
9,00	9,45	A = 0 %		60'	3600'' 7,05
9,10'	9,60			70'	4200'' 7,20
9,20'	9,70			80'	4800'' 7,30
9,30'	9,80			90'	5400'' 7,40
9,40'	9,90			100'	6000'' 7,50
9,50'	10			110'	6600'' 7,60
10,00	10,10	A=0 %		120'	7200'' 7,70
10,30	10,40			150'	9 000'' 8,00
11,00	10,58			180'	10800'' 8,18
11,30	10,72			210'	12600'' 8,32
12,00	10,83	A= 0 %		240'	14400'' 843
13,00	11,25			300'	18,000'' 8,85
14,00	11,48			360'	21600'' 9,08
15,00	11,70			420'	25200'' 9,30
16,00	12,15	A= 0 %		480'	28800'' 9,75
17,00	12,55			540'	32400 10,15

ΧΡΟΝΟΣ	ΠΤΩΣΗ ΣΤΑΘΜΗΣ	ΠΑΡΟΧΗ σε $m^3/h$	ΠΑΡΑΤΗΡΗΣΕΙΣ	ΧΡΟΝΟΣ σε δευτερ.	ΑΠΟΛ. ΠΤΩΣΗ Σ ΤΑΘΜΗΣ σε μ.
1800	12,90			600'	36000'' 10,50
1900	13,10			660'	39600'' 10,70
2000	13,25		Δείγμα νερού $\zeta A=0\%$	720'	43200'' 10,85
2100	13,42			780'	46800'' 11,02
2200	13,58			840'	50400'' 11,18
2300	13,65			900'	54000'' 11,25
2400	13,80			960'	57600'' 11,40
	12 / 11 / 85				
0100	13,95			1020'	61200'' 11,55
0200	14,10			1080'	64800'' 11,70
300	14,25			1140'	68400'' 11,85
400	14,40			1200''	72000'' 12,00
500	14,40			1260'	75600'' 12,00
600	14,40			1320'	79200'' 12,00
700	14,40			1380'	82300'' 12,00
			Δείγμα νερού		
800	ΜΕΤΡΗΣΕΙΣ ΕΠΑΝΑΦΟΡΑΣ Σ ΤΑΘΜΗΣ			1440'	86400'' 12,00
				χρονος. $t_{min}$	χρονολογιο $t_0$
8.01'	9,72			1441'	1' 1441 7,32
8.02'	9,38			1442'	2' 721 6,98
8.03'	9,23			1443'	3' 481 6,83
8.04'	9			1444'	4' 361 6,60
8.05'	8,90			1445'	5' 289 6,50

ΧΡΟΝΟΣ	ΠΤΩΣΗ ΣΤΑΘΜΗΣ	ΠΑΡΟΧΗ σε m <sup>3</sup> /h	ΠΑΡΑΤΗΡΗΣΕΙΣ	ΧΡΟΝΟΣ σε δευτερ.	ΑΠΟΛ. ΠΤΩΣΗ ΣΤΑΘΜΗΣ ΣΕ μ.
8,06'	8,77			$t_{min}$	$t_{0 min}$
				1446'	6'
8,07'	8,66			1447'	7'
8,08'	8,57			1448'	8'
8,09'	8,48			1449'	9'
8,10'	8,35			1450'	10'
8,12'	8,15			1452'	12'
8,14'	8,07			1454'	14'
8,16'	7,92			1456'	16'
8,18'	7,85			1458'	18'
8,20'	7,75			1460'	20'
8,25'	7,48			1465'	25'
8,30'	7,42			1470'	30'
8,35'	7,22			1475'	35'
8,40'	7,15			1480'	40'
8,45'	6,92			1485'	45'
8,50'	6,82			1490'	50'
8,55'	6,70			1495'	55'
9,00	6,57			1500'	60'
9,10'	6,35			1510'	70'
9,20'	6,25			1520'	80'
9,30	6,12			1530'	90'
					17
					372



Γεώτρηση Γ1

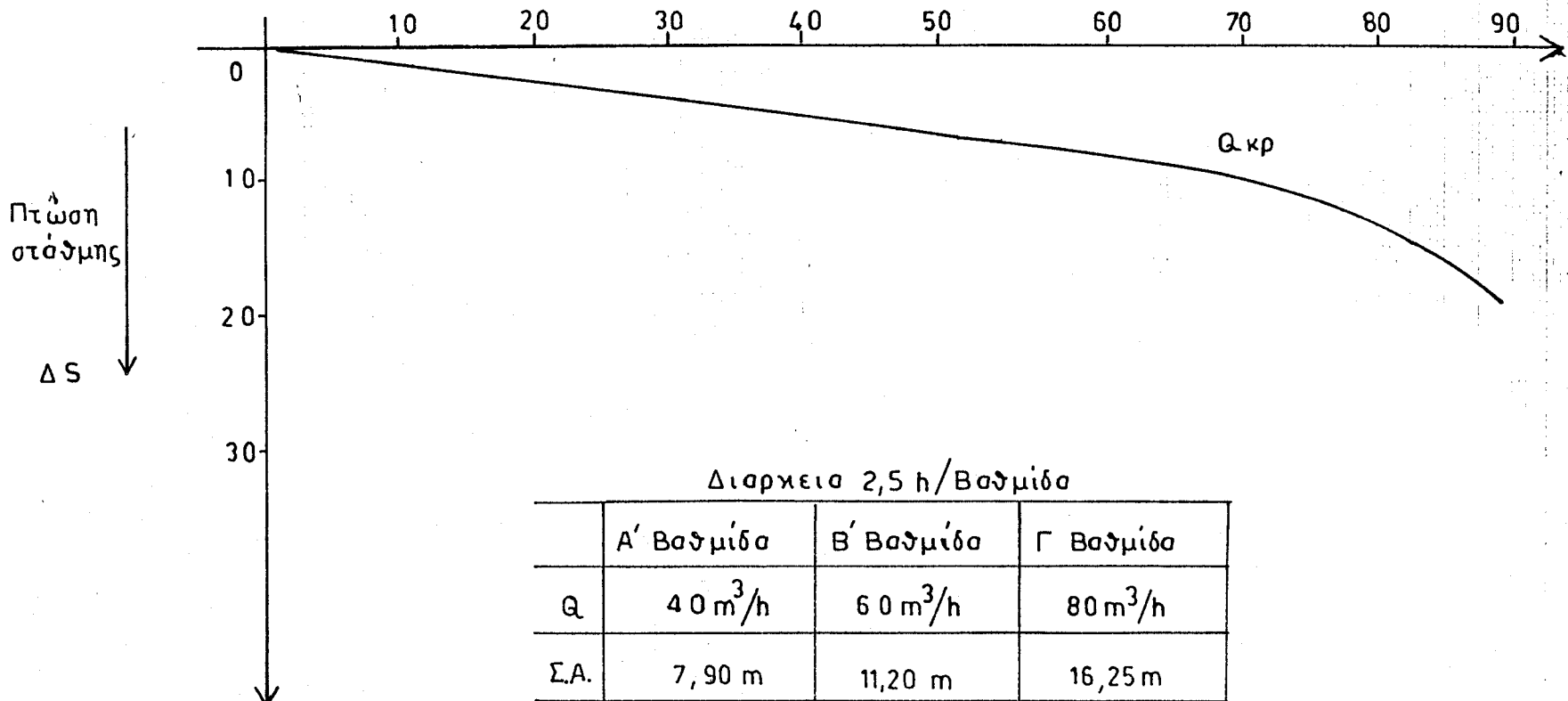
Κρίσιμη Παροχή

$$Q_{kp} = 67 \text{ m}^3/\text{h}$$

Υδροστατική στάθμη

$$\Sigma Y = 240 \text{ m}$$

$Q \text{ m}^3/\text{h}$

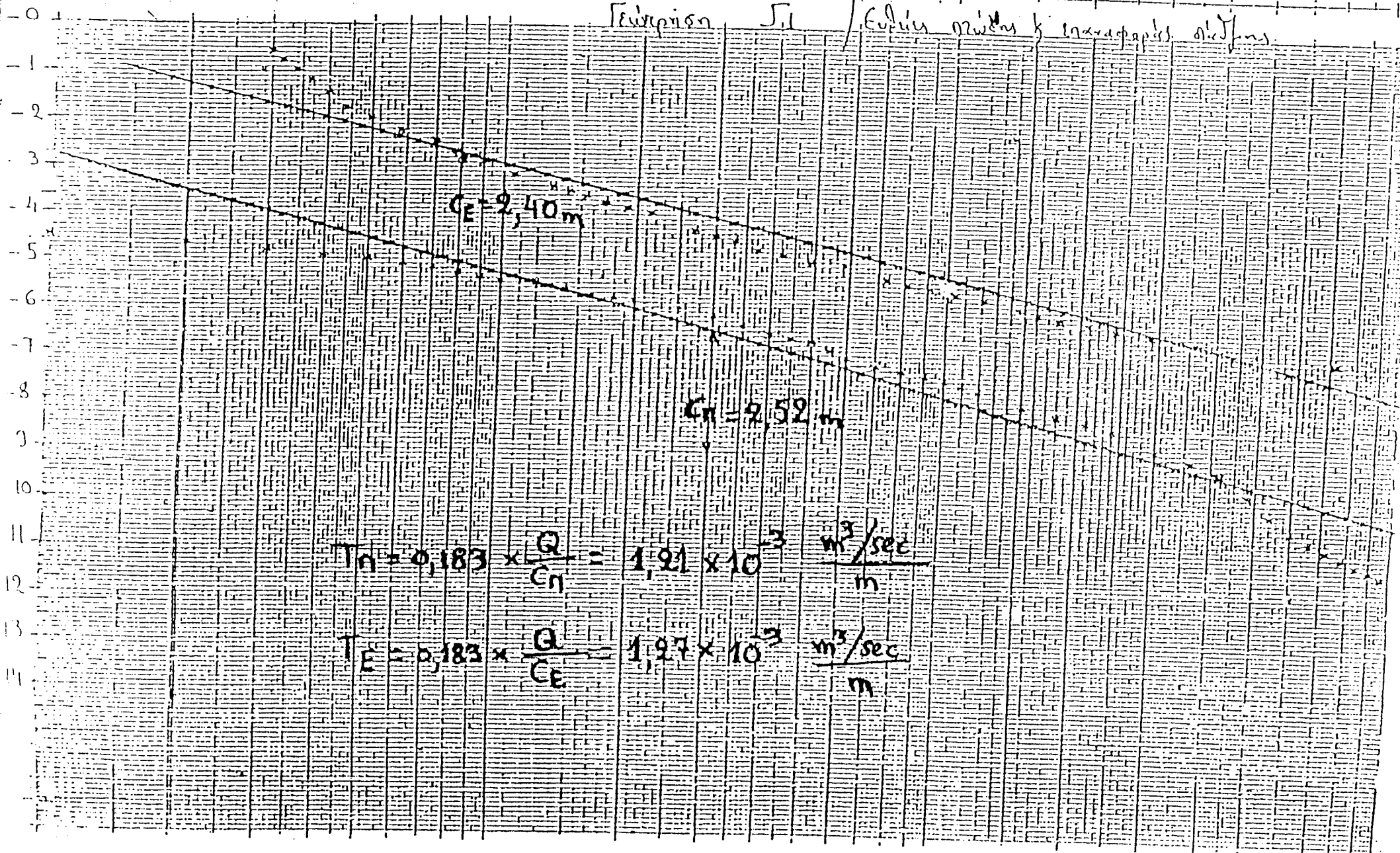


	A' Βαθμίδα	B' Βαθμίδα	Γ Βαθμίδα
Q	$40 \text{ m}^3/\text{h}$	$60 \text{ m}^3/\text{h}$	$80 \text{ m}^3/\text{h}$
Σ.Α.	7,90 m	11,20 m	16,25 m
Σ.Σ	2,40 m	2,40 m	240 m
Δ.Σ.	5,50 m	8,80 m	13,85 m

2 3 4 5 6 7 8 9 10

2 3 4 5 6 7 8 9 10

2 3 4 5 6 7 8



5 7 8 9

2            3            4            5            6            7            8            9            10

2 . 3 . 4 . 5 . 6 . 7 . 8 . 9 . 10

2 3 : 5

$$Q = 60 \text{ m}^3/\text{s} = 16,67 \times 10^{-3} \text{ m}^3/\text{sec}$$

$$C_n = 2,59 \text{ m} \quad T_h = 1,21 \times 10^3 \frac{\text{m}^3/\text{sec}}{\text{m}}$$

$$C_E = 2,40 \text{ m} \quad T_E = 1,27 \times 10^{-3} \frac{\text{m}^3/\text{sec}}{\text{m}}$$

Π ΑΡ ΑΡ ΤΗ ΜΑ 3

Εντυπα καταγραφής μετρήσεων δοκιμαστικής άντλησης

# ΠΟΥΡΓΕΙΟ ΓΕΩΡΓΙΑΣ

ΓΕΩΤΡΗΣΗ

A M :

Υδρ. Στάση

n

10

## ΔΗΜΟΣ ή ΚΟΙΝΟΤΑΣ

ΘΕΣΗ

## ΣΥΝΤΕΤΑΓΜΕΝΕΣ

X =

$$\Psi =$$

ΦΥΛΟ Γ.Υ.Σ.

YΨΩΜ =

